

# Anomalies d'EBSTEIN

## 2026

Dr Xavier Iriart  
Bordeaux-Pessac  
FRANCE

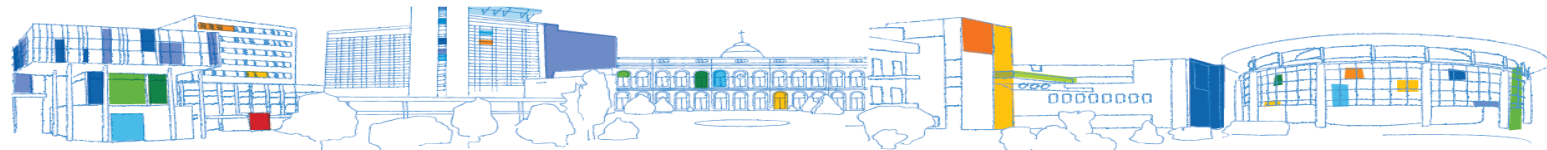


# Maladie d'Ebstein

- Anatomie de la valve tricuspidale
- La maladie d'Ebstein
  - Définition et anatomie
  - Nomenclature et classifications
  - Physiopathologie
  - Anomalies ventriculaires droites
  - Anomalies ventriculaires gauches
- Histoire naturelle et facteurs de pronostic
- Aspects cliniques
- Examen complémentaires
- Prise en charge



*Wilhelm Ebstein, 1866,  
Professor of Medicine  
Gettingen, Germany*

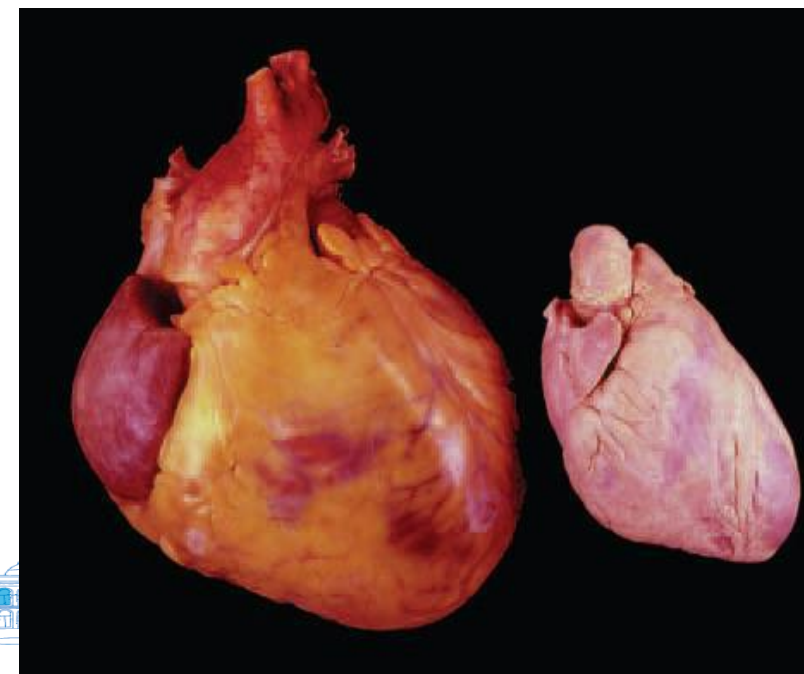


# Anomalie d'Ebstein

- Willem Ebstein en 1866
- patient de 19 ans
  - insuffisance tricuspidé
  - Cyanose
  - Dyspnée
  - Palpitations
  - turgescence jugulaire
  - cardiomégalie



Wilhelm Ebstein,  
Professor of Medicine  
Gettingen, Germany



## Description autopsique initiale



Wilhelm Ebstein,  
Professor of Medicine  
Göttingen, Germany



feuillet tricuspidé antérieur élargi et fenestré



feuillets inférieur et septal hypoplastiques, épaisse, adhérents à la paroi du ventricule droit



Atrialisation, dilatation, amincissement de la paroi VD



OD très dilatée + FOP

## Données épidémiologiques



- < 1% cardiopathies congénitales



- 1/ 210 000 naissances vivantes (mots fœtales in utero)

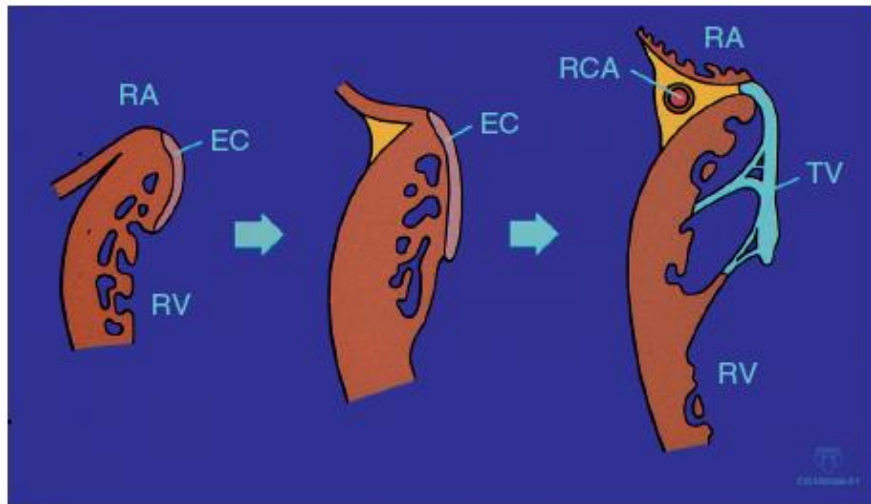


- Embryofoetopathie aux sels de lithium

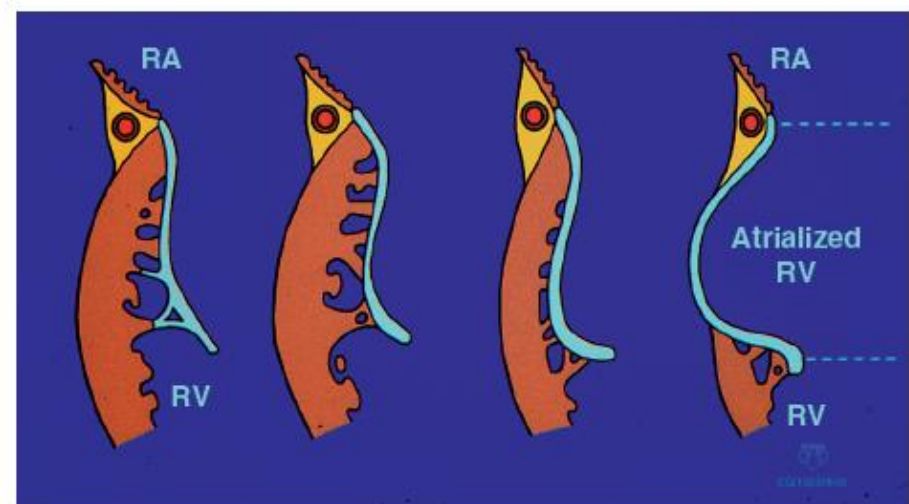


# Données embryologiques

- Formation des feuillets par délamination
- Expansion de la lumière ventriculaire entre myocarde compacté et myocarde trabéculé



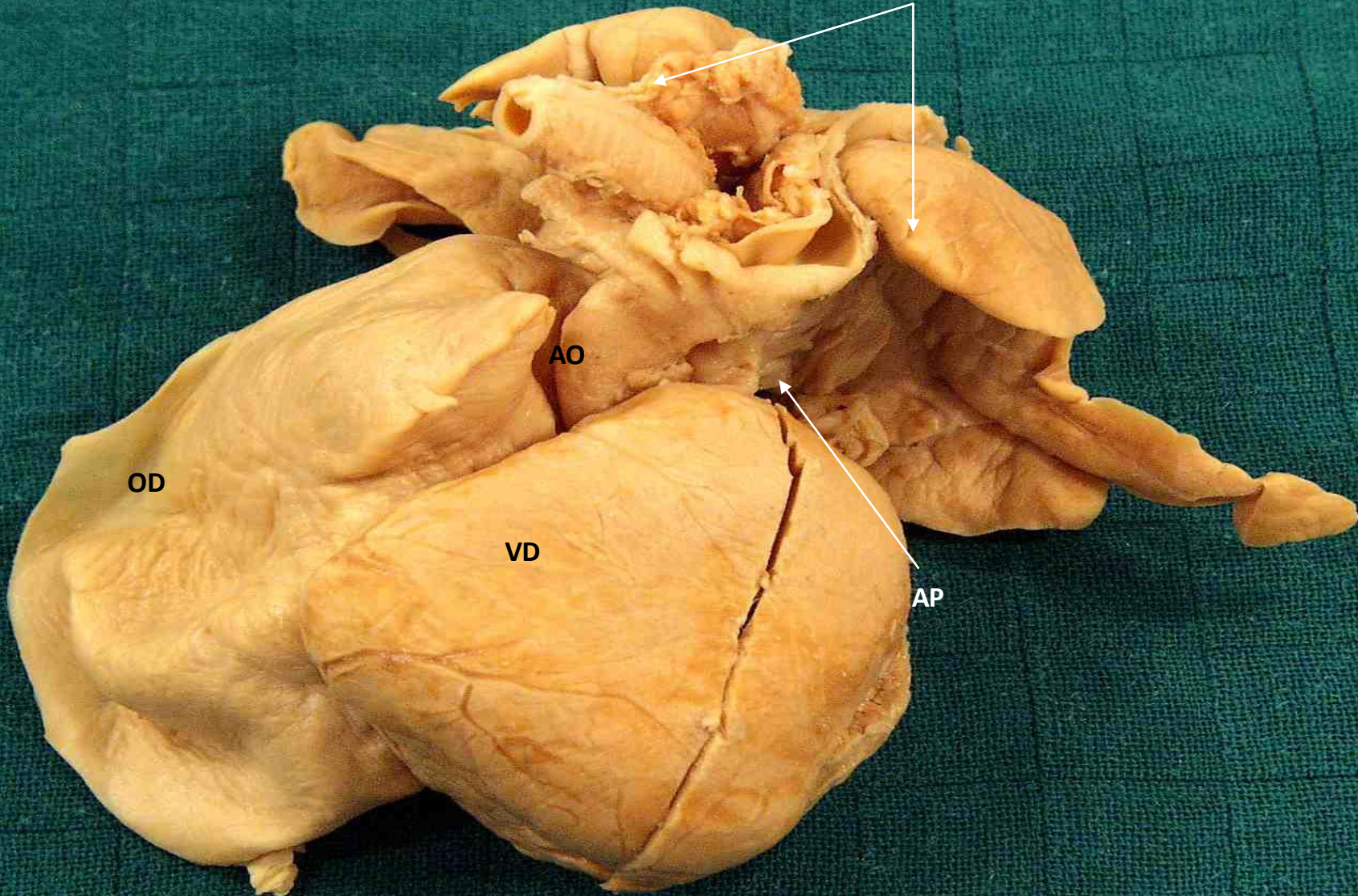
Tricuspe normale



Ebstein

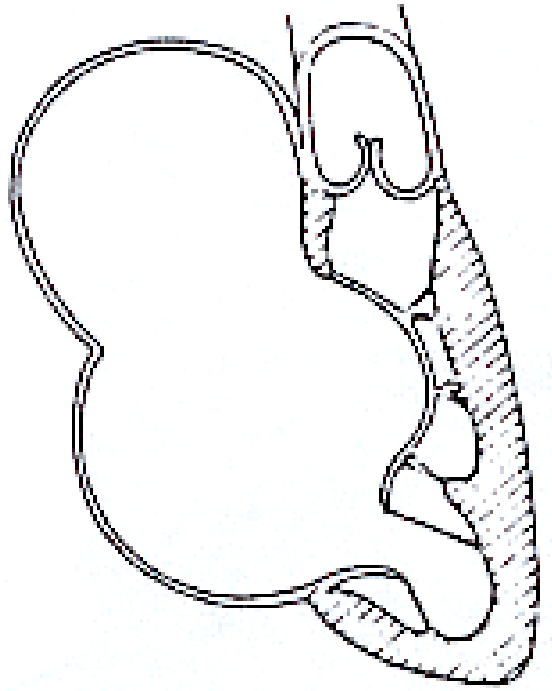
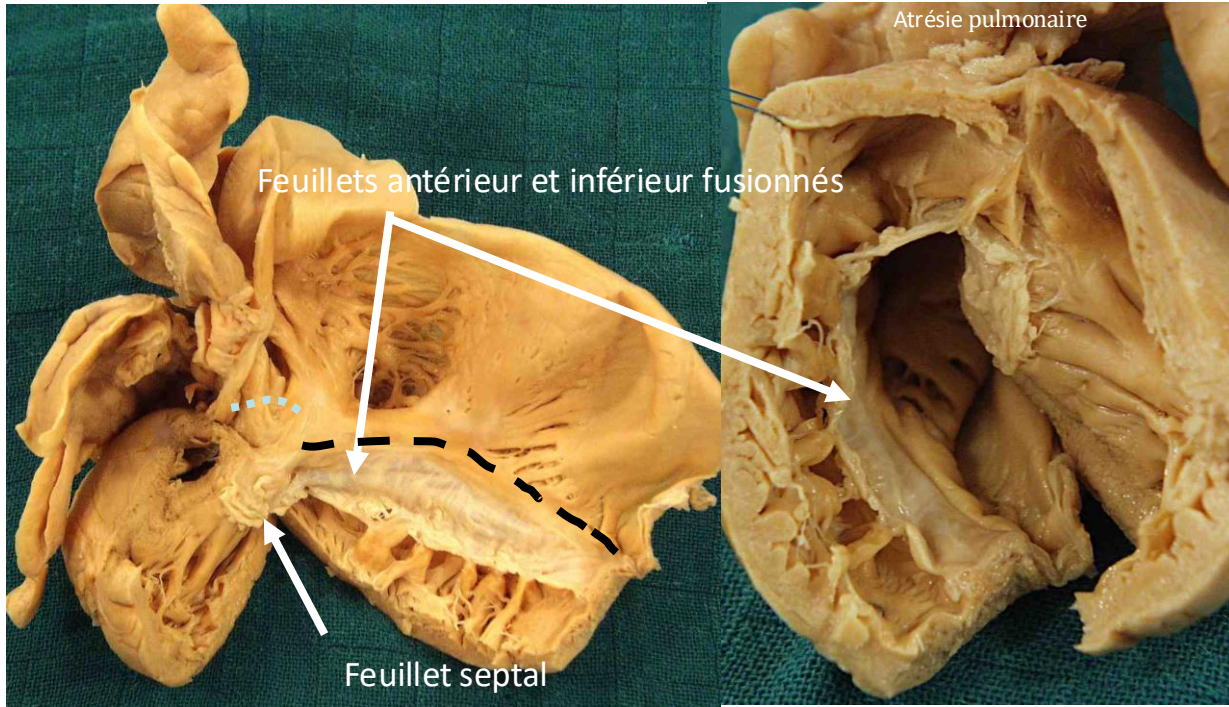
Oosthoek et al. Anat Embryol 1998

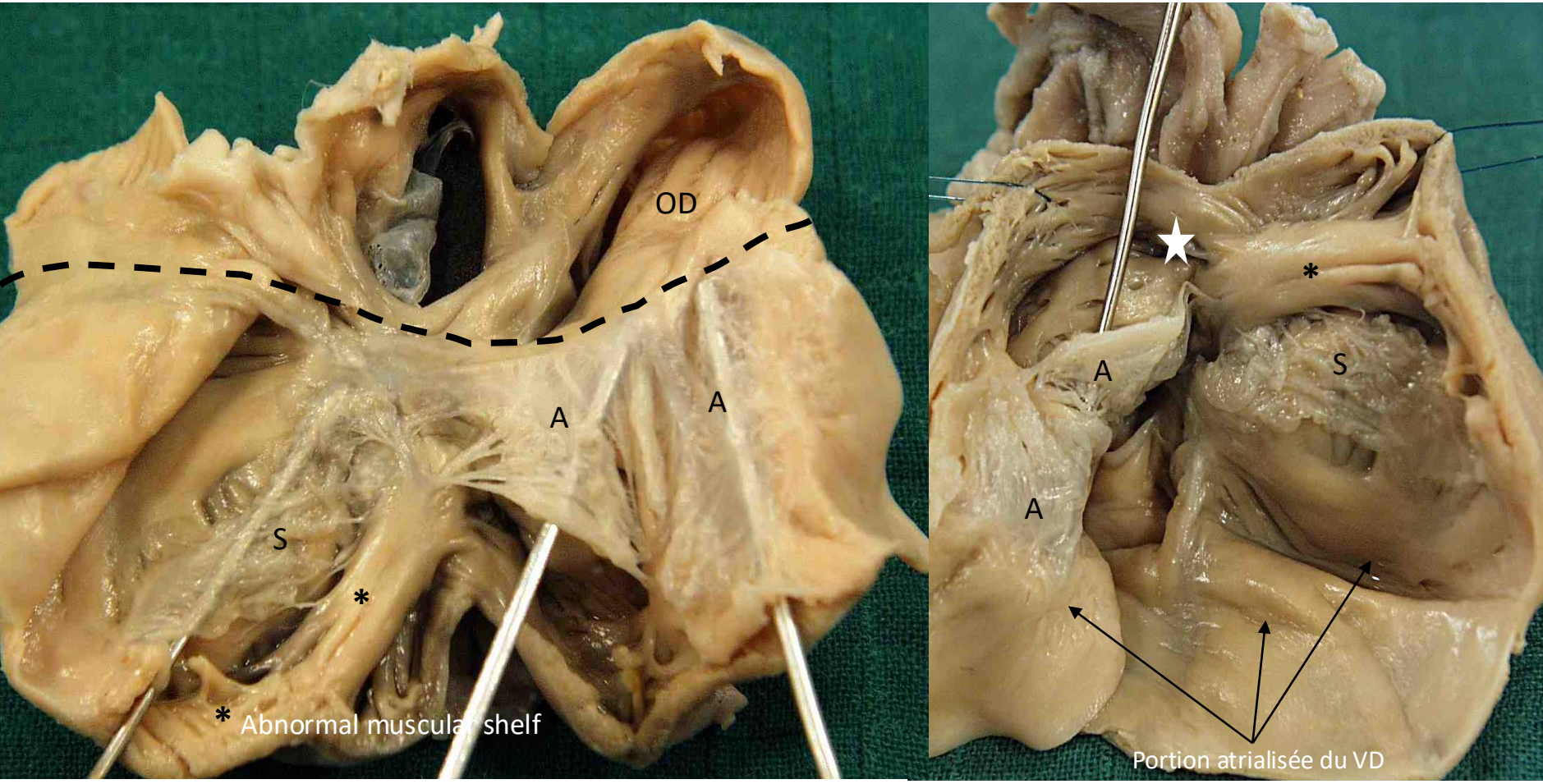
Poumons hypoplasiques



Lucile Houyel





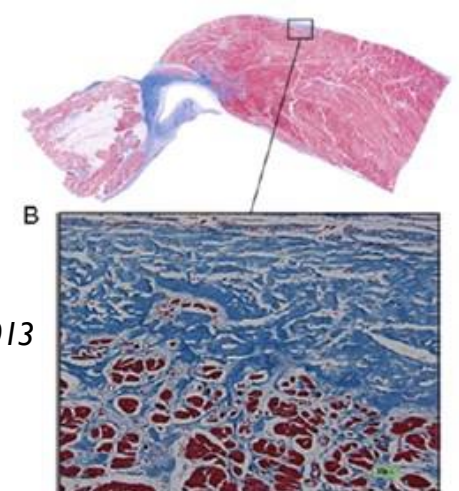
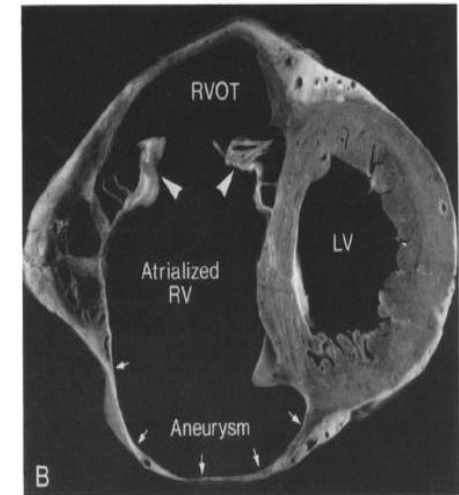


Lucile Houyel



# Anomalie du ventricule droit

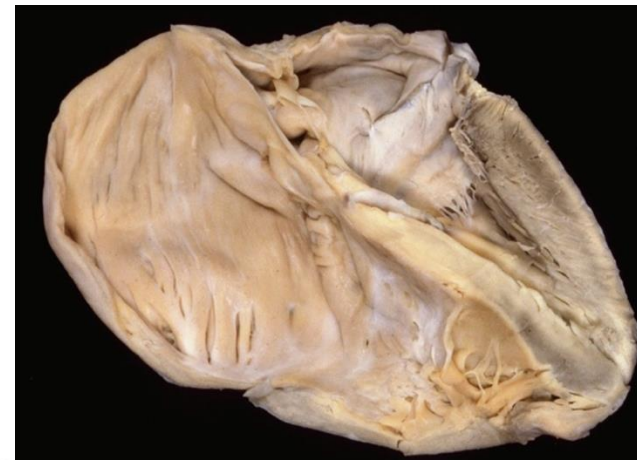
- Myocardiopathie du ventricule droit
  - Anatomie
  - histologie anormales
  - fonction
- Dilatation de la jonction AV (incompétente)
- Chambre d'admission VD atrialisée
  - endocarde épais, fibreux et lisse
  - trabéculations musculaires anormales
  - paroi postérieure anévrismale très mince (démuscularisée)
- VD fonctionnel tripartite (variable)
  - Infundibulum
  - apex VD Forme de croissant
  - cavité antérolatérale



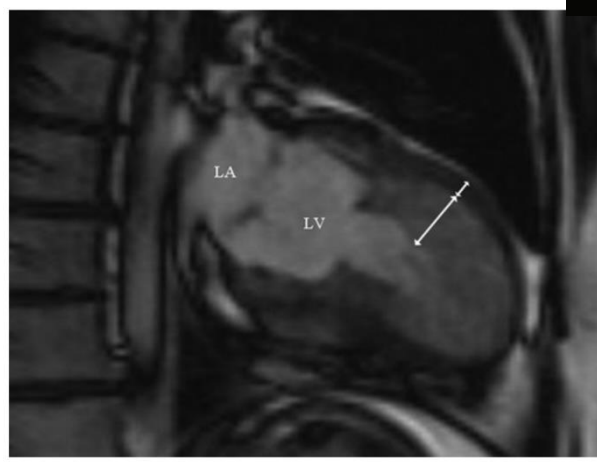
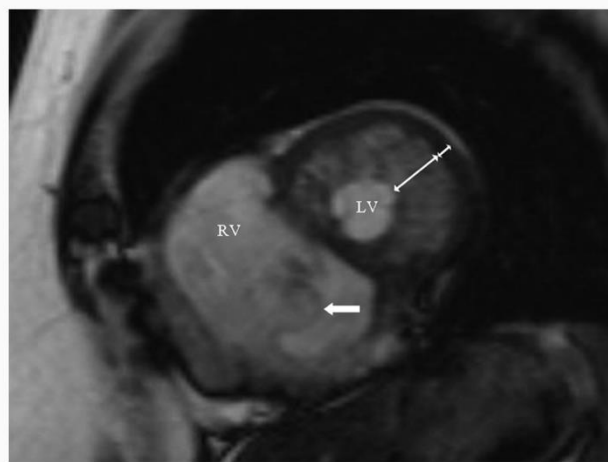
Edwards WD. Prog Pediatr Cardiol. 1993  
Assenza I G, Valente AM, Geva T, et al. Eur Heart Journ. 2013

# Anomalie du VG

- Anomalies de l'endocarde (épais) et fibrose endo-myocardique (risque de dysfonction VG)
- Anomalies génétiques (MYH7): non compaction

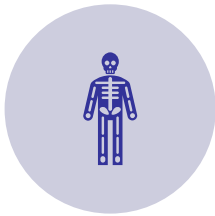


Courtesy of A cook UCL London

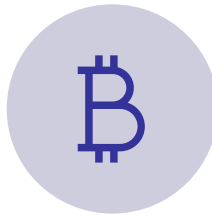


Gerlis L, 1993; Attenhofer 2005  
Lee A, Cook AC et al 1994  
Postma A 2011; Bettinelli A 2013

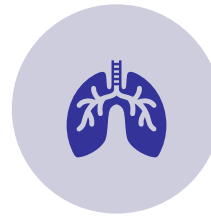
# Anomalies associées



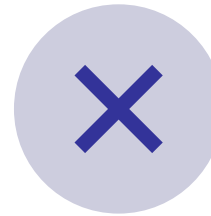
CIA (50-70%)



CIV



STÉNOSE/ATRÉSIE  
PULMONAIRE



DOUBLE  
DISCORDANCE

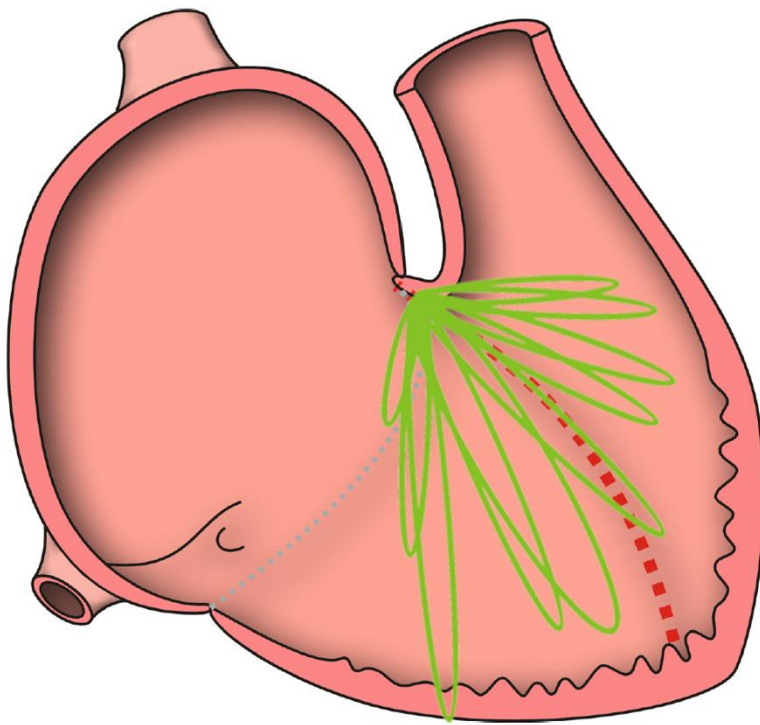


WPW (30%)

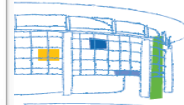


# Déplacement rotationnel de l'orifice valvulaire tricuspidé

Rotational Displacement in Ebstein's Malformation

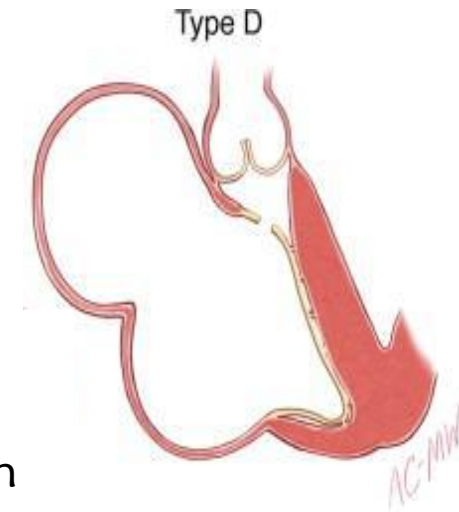


Adapted from Schreiber C, Cook A et al J Thorac Cardiovasc Surg. 1999



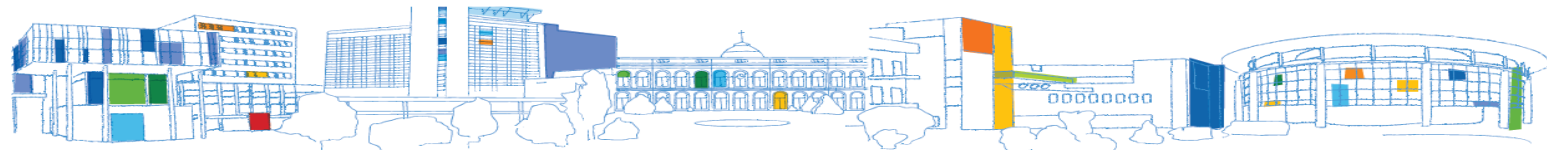
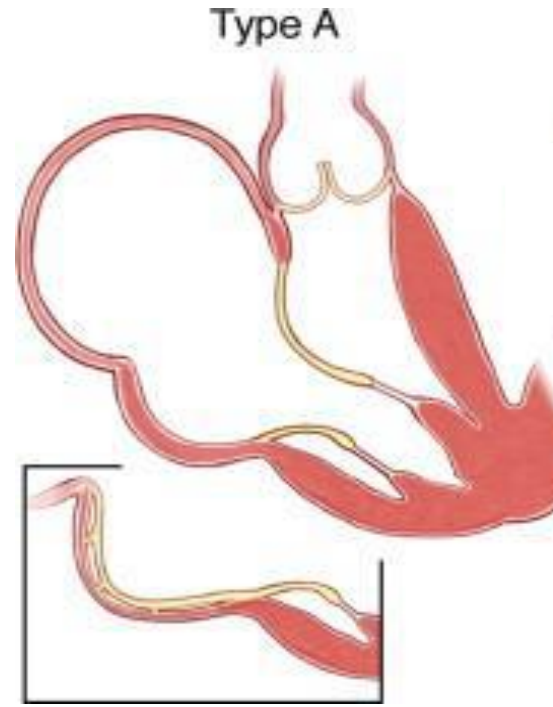
# Spectre anatomique et clinique

- Variable: stade d'arrêt du développement tricuspidé
- Formes précoce = formes sévères:
  - feuillet inférieur absent, feuillet ant visible +/- non démuscularisé. Feuillet septal non délamинé
  - piliers non individualisables, pas de cordages, et le feuillet antérieur inséré sur un « éperon musculaire anormal VD non développé
  - ouverture tricuspidé antérieure et dirigée vers la gauche
  - infundibulum VD fonctionnel (développé à partir de la voie d'éjection embryonnaire)
  - VD faussement "dilaté", cavité fctelle hypoplasique. La partie "dilatée" non fonctionnelle (atrialisée)



# Spectre anatomique et clinique

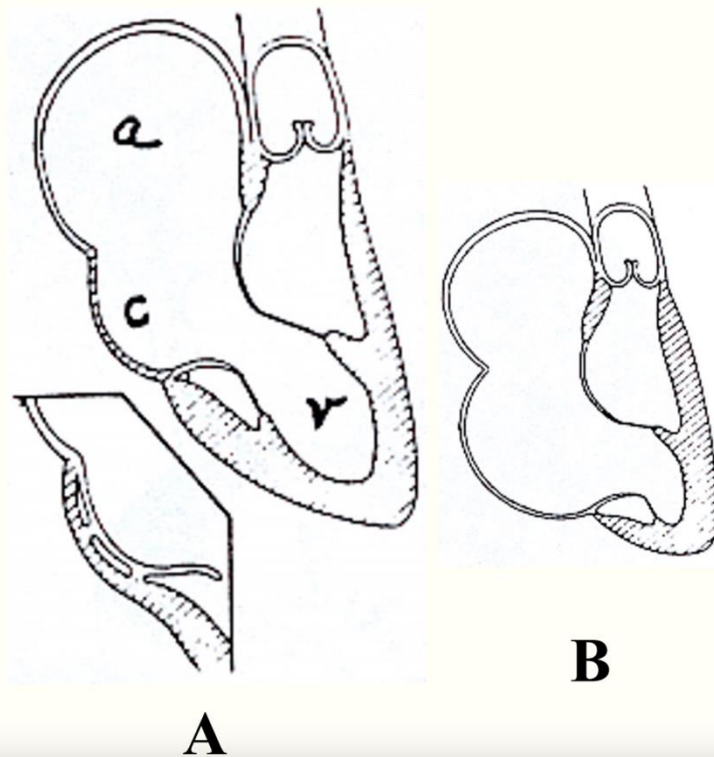
- formes anatomiquement moins sévères = plus tardive
  - ouverture apicale
  - feuillets mieux formés, mais peu mobiles
  - cordages courts, petits piliers épars,
  - délamination incomplète du feuillet septal définissant l'anomalie d'Ebstein.



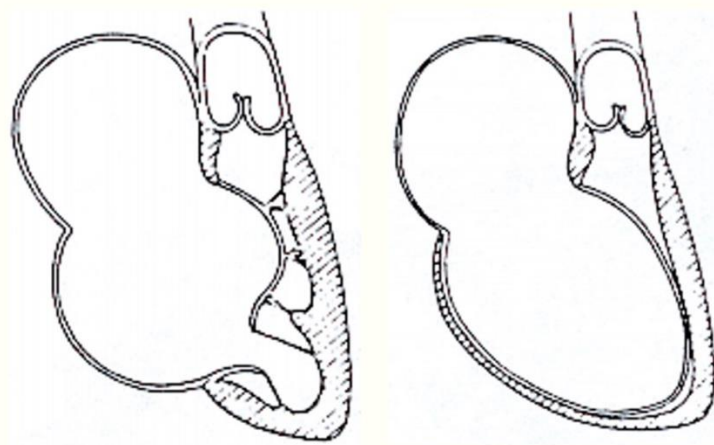
# Classification de Chauvaud/Carpentier

## Classification de Carpentier

- IT = restriction des mouvements valvulaires, cordages du bord libre courts, tractés par dilatation du VD, inclusion du pilier dans la paroi
- Type A : déplacement minime de la valve septale, petite chambre atrialisée
- Type B : ↑ déplac. ↑ ch. atrialisée, ↓ mvmnts. valve ant. à cordages courts



# Classification de Chauvaud/Carpentier



C

D

- Type C : absence de valves sept. et post., ↑↑ch.atrialisée anévrysmale, mvmts valve ant. très limités trabéculations entre valve ant et infundibulum VD → sténose infundibulaire
- Type D : valves accolées à la paroi ventriculaire ne laissant qu'une toute petite chambre de chasse chambre atrialisée / VD quasi anévrysmal = Uhl

# Physiopathologie

- Altération fonctionnelle (volume + fonction) VD
  - VD atrialisé = réservoir passif et distensible (limitation précharge VD fonctionnel pendant systole atriale)
  - IT sévère
    - Diminution flux antérograde
    - Diminution précharge VG.
    - dilatation progressive OD (+ CIA)
- The diagram illustrates the physiopathology of ventricular dysfunction. A blue bracket on the right groups the first two points under the heading 'Dysfonction atrio-ventriculaire'. A red bracket on the right groups the last two points under the heading 'Forme fœtale grave'. A red arrow points from the 'Forme fœtale grave' bracket to the third point, which is further divided into three sub-forms: 'Forme fœtale grave', 'Forme néonatale (atrésie anat ou fctelle)', and 'Forme classique ± limitation d'effort ± cyanose d'effort ± arythmie'.
- Dysfonction atrio-ventriculaire
- Forme fœtale grave
- Forme néonatale  
(atrésie anat ou fctelle)
- Forme classique  
± limitation d'effort  
± cyanose d'effort  
± arythmie
-  **CHU**  
Hôpitaux de  
Bordeaux
- A stylized illustration of the CHU Bordeaux hospital complex, featuring various modern and traditional building facades, greenery, and a bridge connecting different parts of the facility.

## Aspects cliniques



Eventail clinique large



Symptômes cardinaux

cyanose

Insuffisance cardiaque

Arythmie et mort subite



forme néonatale sévère



forme classique enfant,  
adolescent, adulte

Limitation fonctionnelle  
(VO<sub>2</sub>)

Rechercher cyanose  
d'effort

arythmie



forme tardive: insuffisance cardiaque  
tardive de la personne âgée



# Forme néonatale



Déterminer flux  
antérograde à travers  
la valve pulmonaire

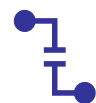
Atrésie fonctionnelle (IT,  
fonction VD)

Atrésie anatomique

Perfusion pulmonaire  
antérograde



Flux dans CA canal  
artériel



IP postnatale (ou  
même parfois  
anténatale): risque de  
défaillance  
hémodynamique par la  
création d'un shunt  
circulaire



Comprendre les  
stratégies de  
réanimation postnatale

O<sub>2</sub> ++++  
NO  
Prostine  
-ECMO

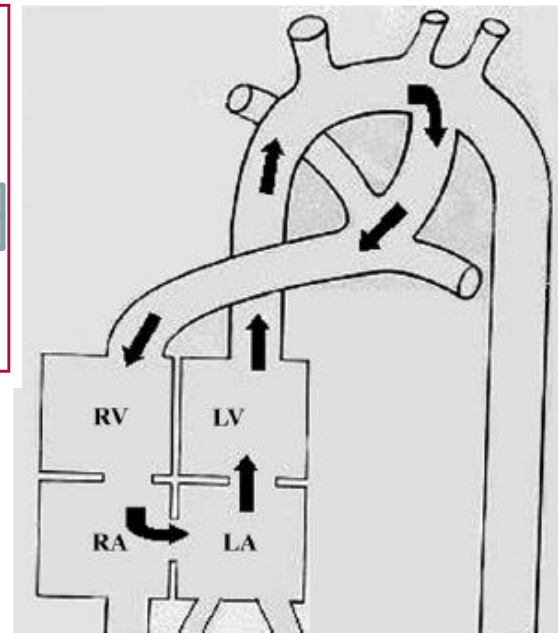


# Congenital Heart Disease

## Outcomes and Predictors of Perinatal Mortality in Fetuses With Ebstein Anomaly or Tricuspid Valve Dysplasia in the Current Era A Multicenter Study

### CLINICAL PERSPECTIVE

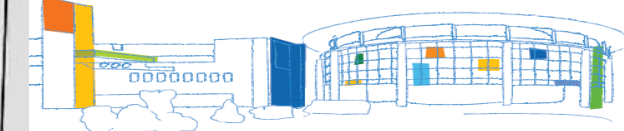
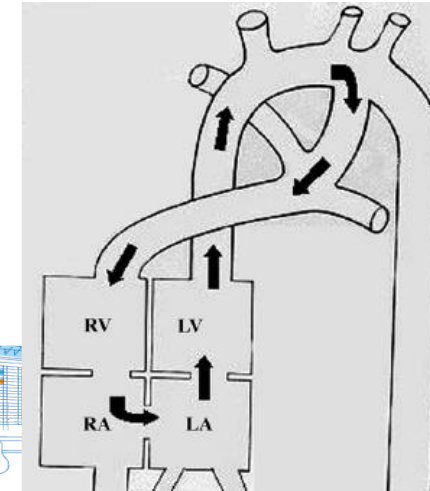
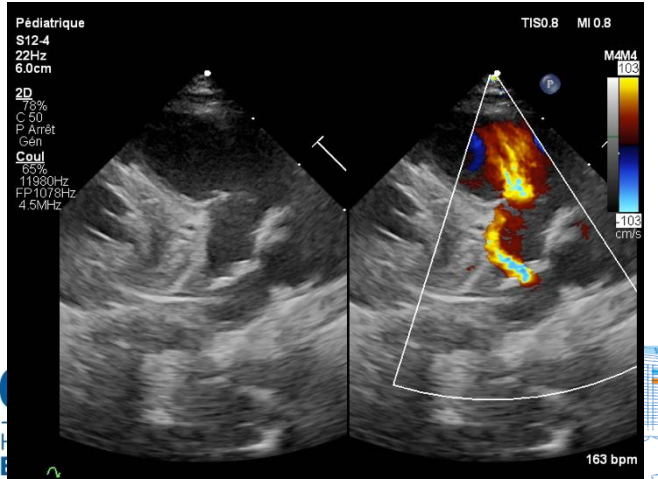
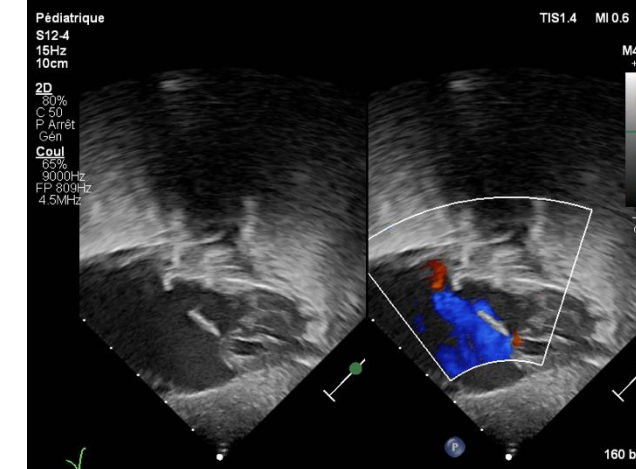
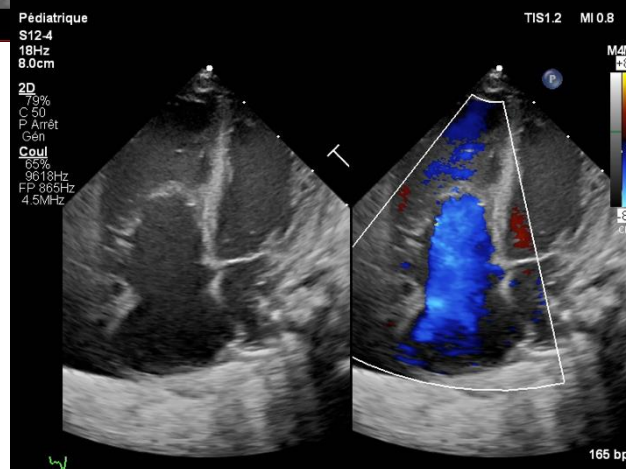
Ebstein anomaly and tricuspid valve dysplasia are rare congenital tricuspid valve malformations associated with high perinatal mortality. Previous literature has consisted of single-center series, often spanning several decades. We report a series of 243 fetuses with Ebstein anomaly or tricuspid valve dysplasia from 23 centers across North America in the recent era. Unfortunately, perinatal mortality remained high at 45%, with one-third of patients not surviving to neonatal hospital discharge. Independent risk factors for mortality included gestational age at diagnosis of <32 weeks, larger tricuspid valve annulus z-score, the presence of pulmonary regurgitation, and a pericardial effusion. The presence of pulmonary regurgitation, in particular, signifies circular shunt physiology, which often culminated in mortality. An understanding of this unique physiology in utero may help clinicians better counsel expectant parents, develop and pursue novel treatment and perinatal management strategies, and ultimately improve mortality for fetuses with this rare and complex disease.





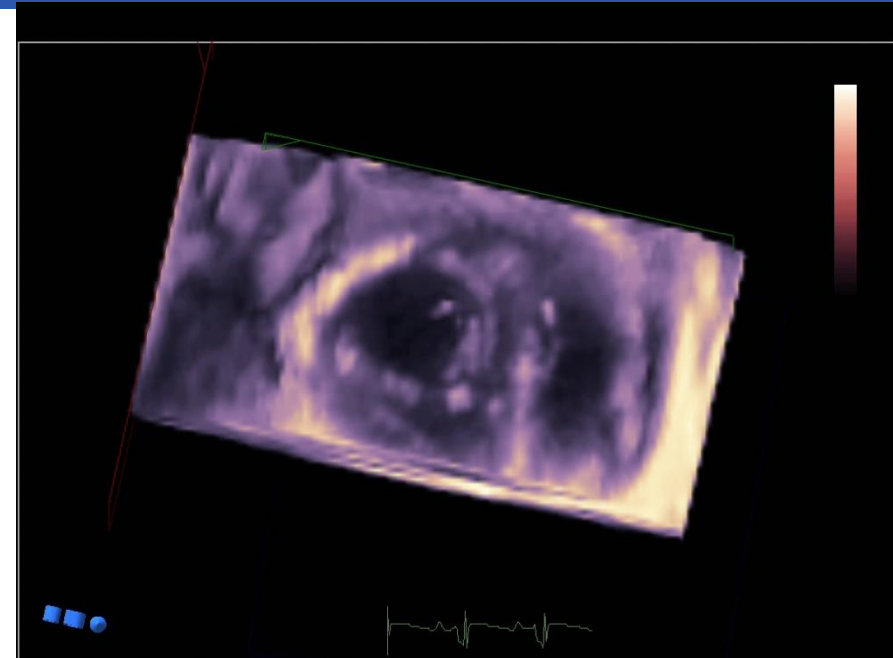
# Neo natal assessment

- Ebstein anomaly with circulatory shunt



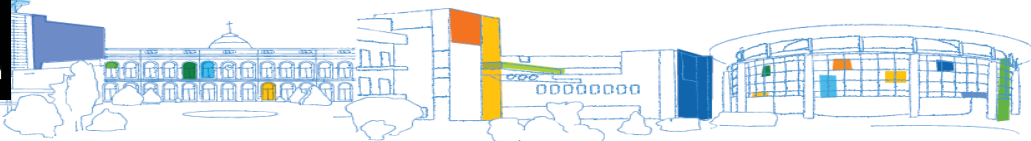
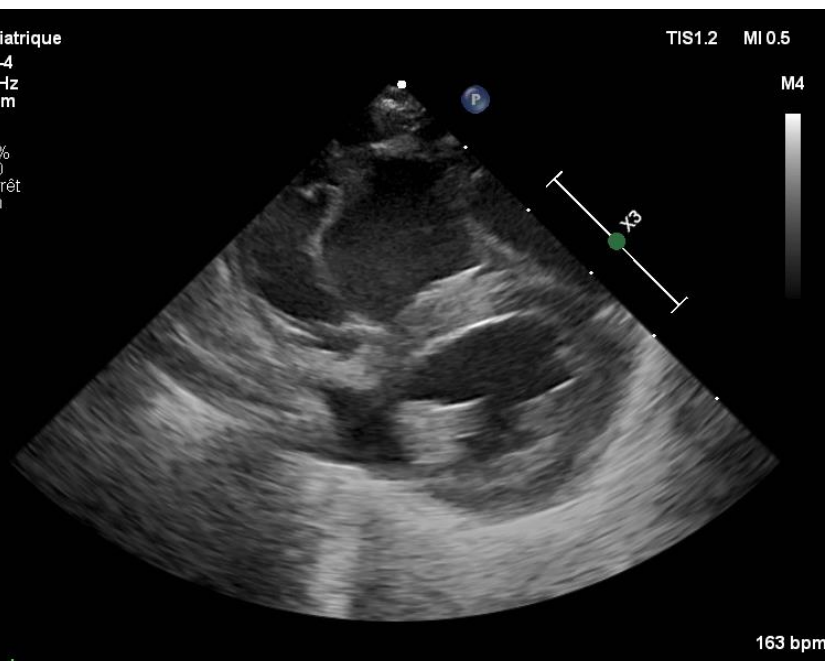
Pédiatrique  
S12-4  
67Hz  
10cm

2D  
78%  
C 50  
P Arrêt  
Gén



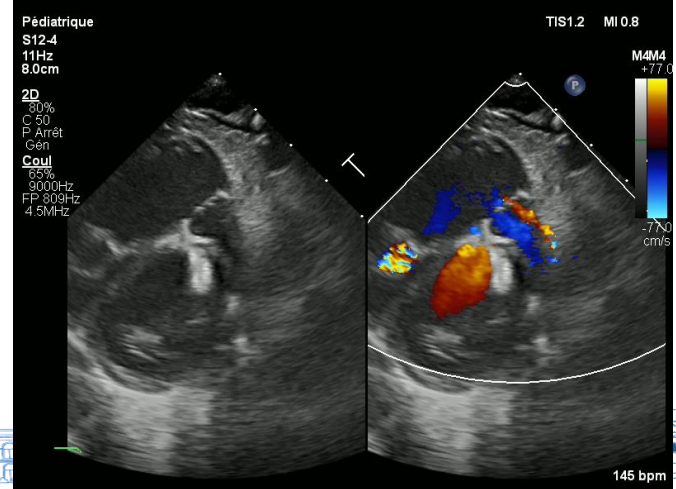
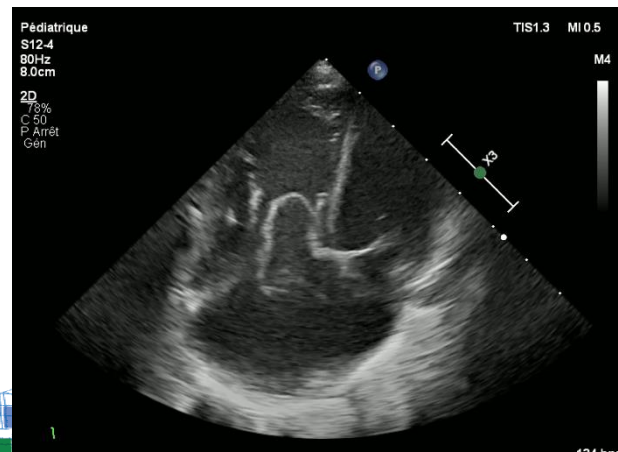
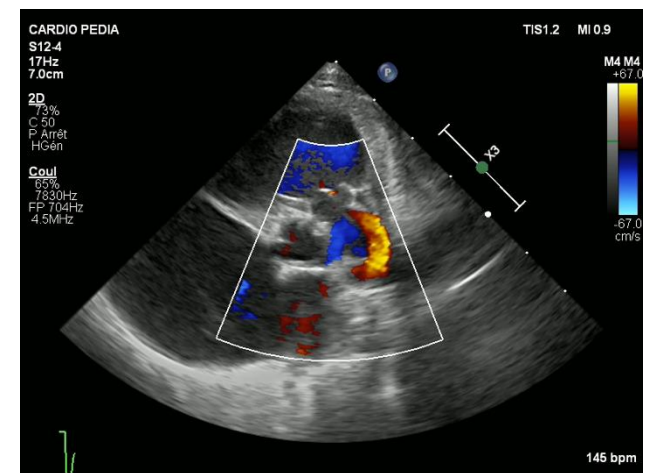
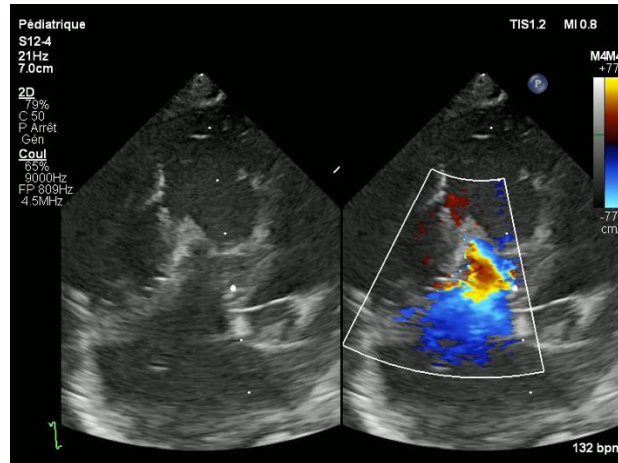
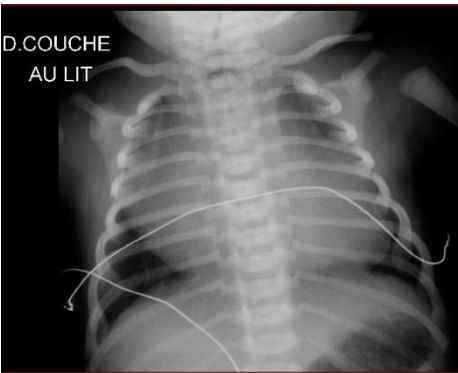
Pédiatrique  
S12-4  
101Hz  
6.0cm

2D  
76%  
C 50  
P Arrêt  
Gén



# Neo natal assessment

- Ebstein anomaly with no circulatory shunt



Pédiatrique  
S12-4  
80Hz  
8.0cm  
  
D  
78%  
C 50  
P Arrêt  
Gén

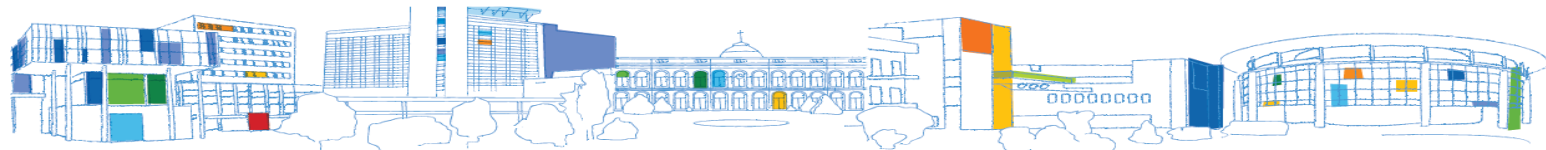
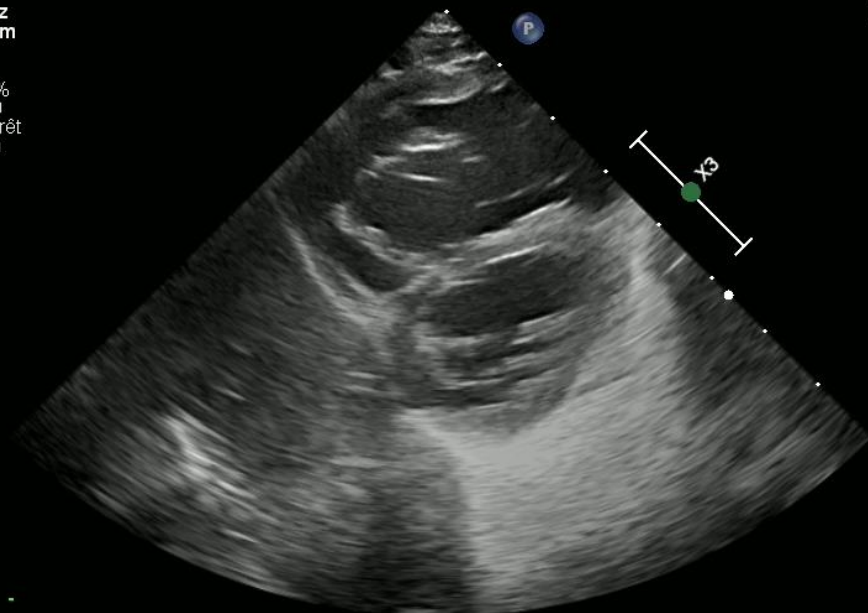
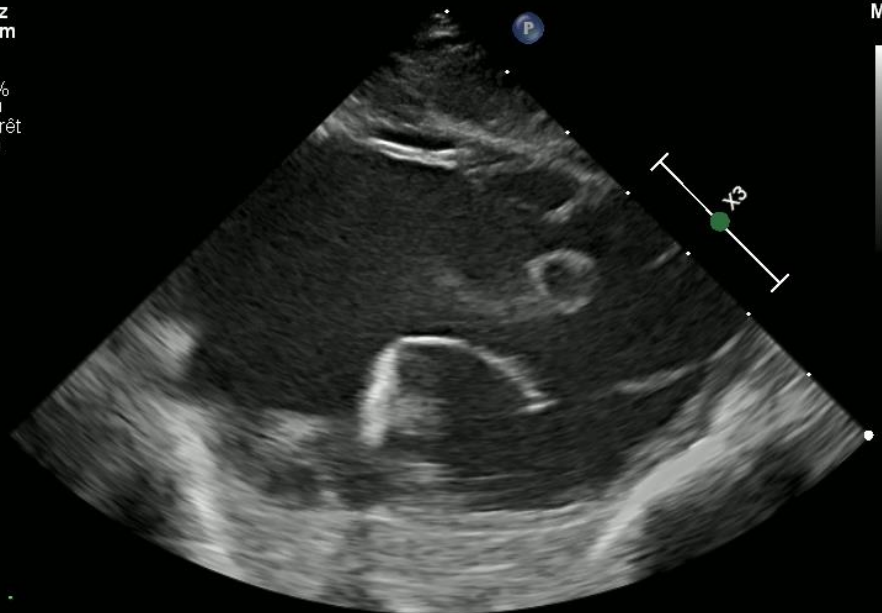
TIS1.3 MI 0.5

M4

Pédiatrique  
S12-4  
80Hz  
8.0cm  
  
2D  
78%  
C 50  
P Arrêt  
Gén

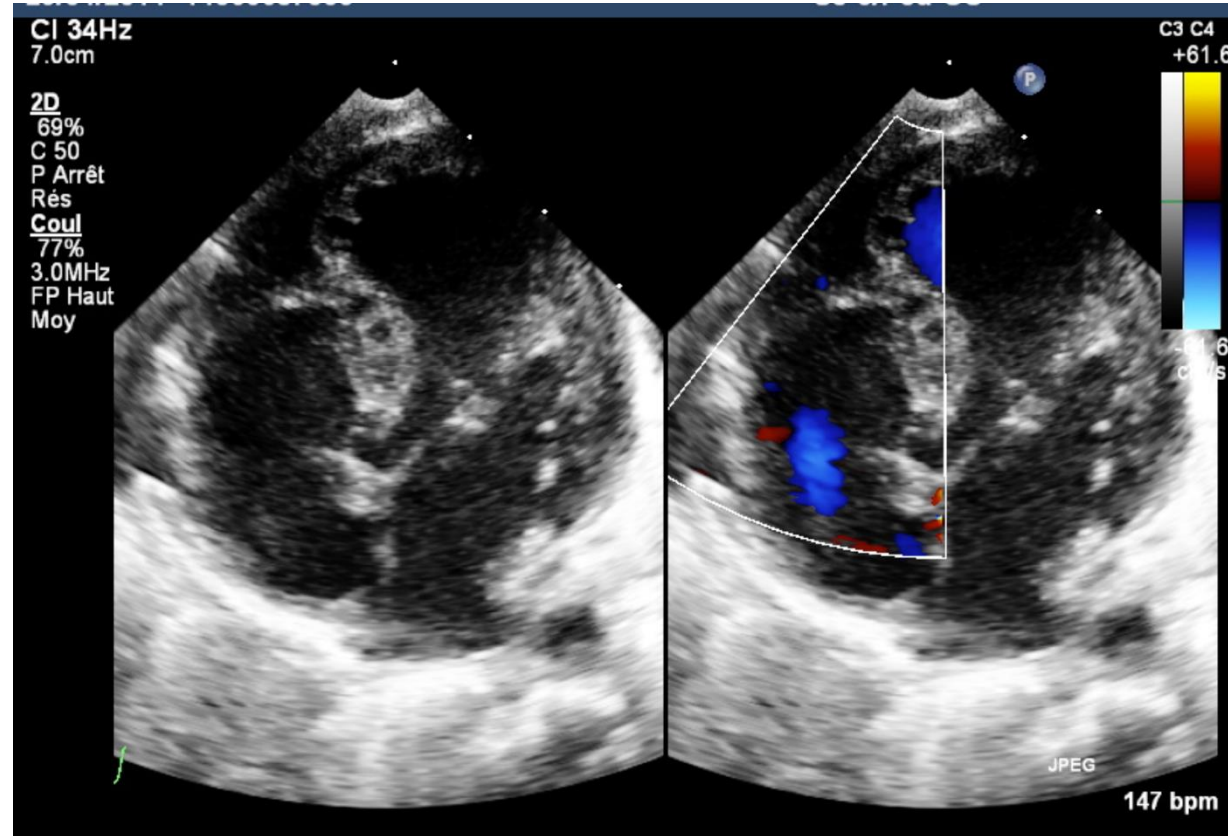
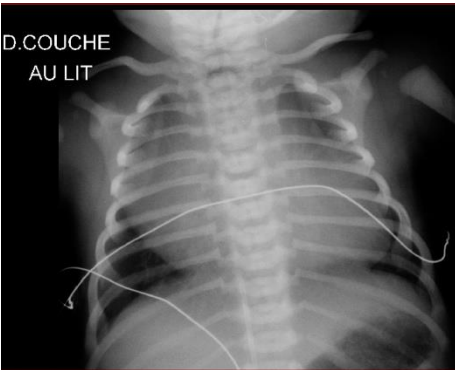
TIS1.3 MI 0.5

M4



# Neo natal assessment

- Ebstein anomaly fonctionnal atresia



Pas d'IT  
Pseudo AT + AP



CI 17Hz  
6.0cm

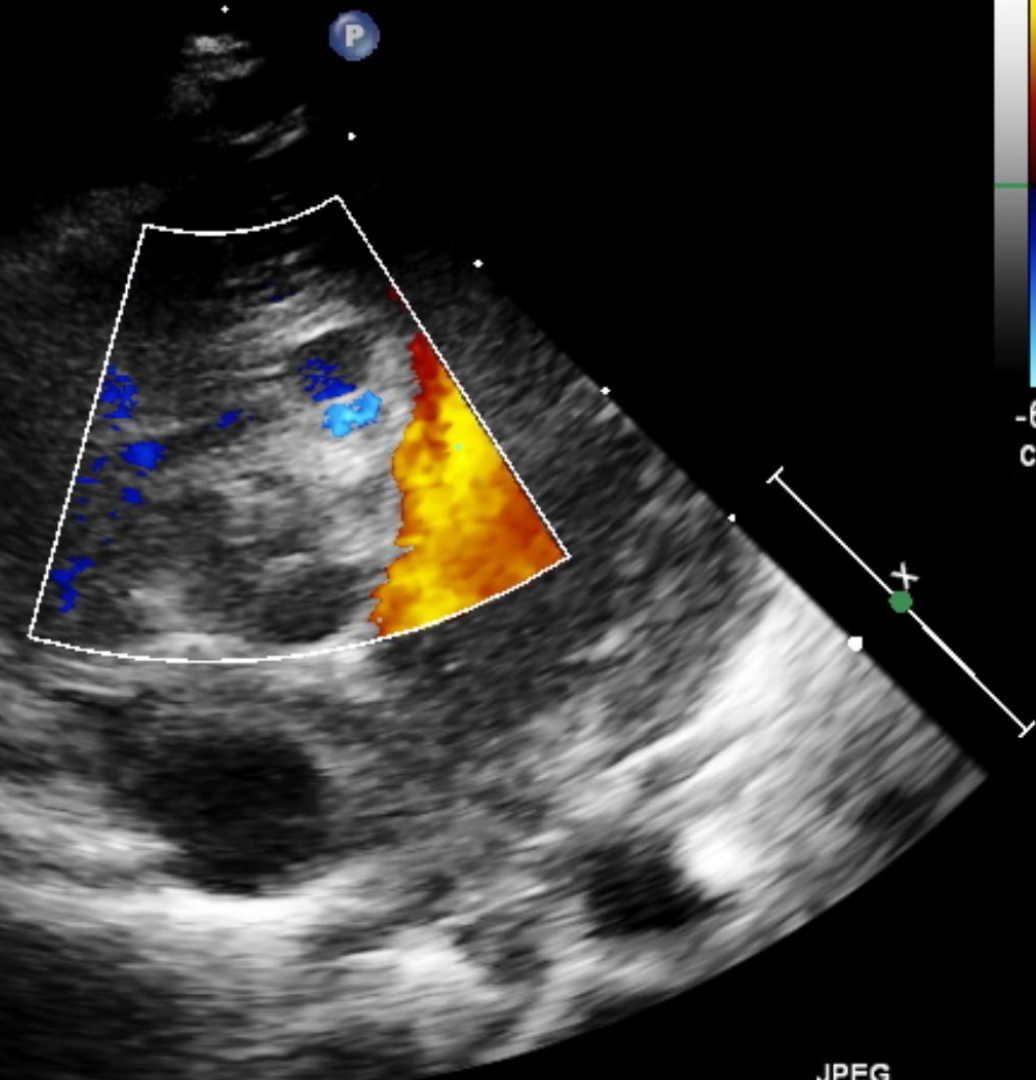
C3 C4  
+67.0



2D  
77%  
C 50  
P Arrêt  
Gén

Coul  
77%  
4.5MHz  
FP Haut  
Bas

G  
P R



JPEG

J

165 bpm

CI 95Hz

6.0cm

C3

2D

77%

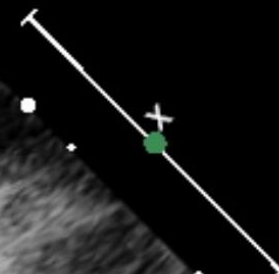
C 50

P Arrêt

Gén

G  
P  R

P



JPEG

162 bpm

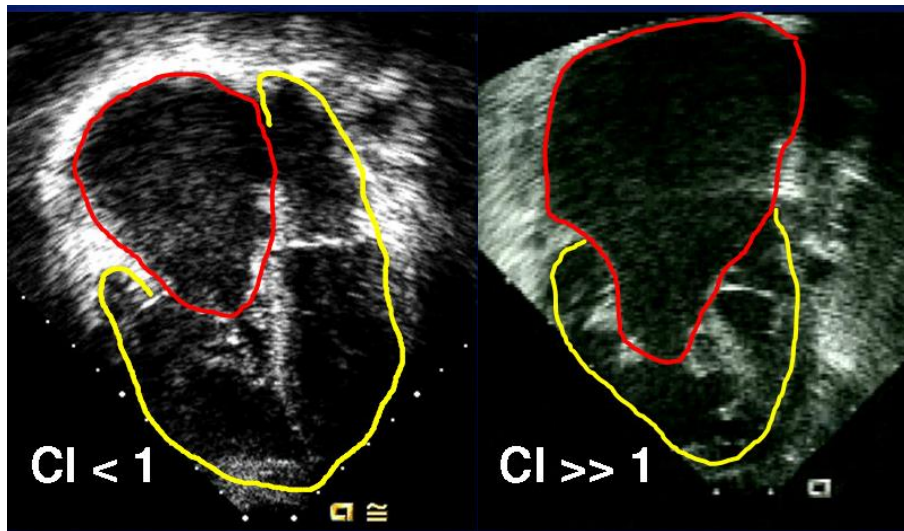


Hôpitaux de  
Bordeaux



# Celermajer index

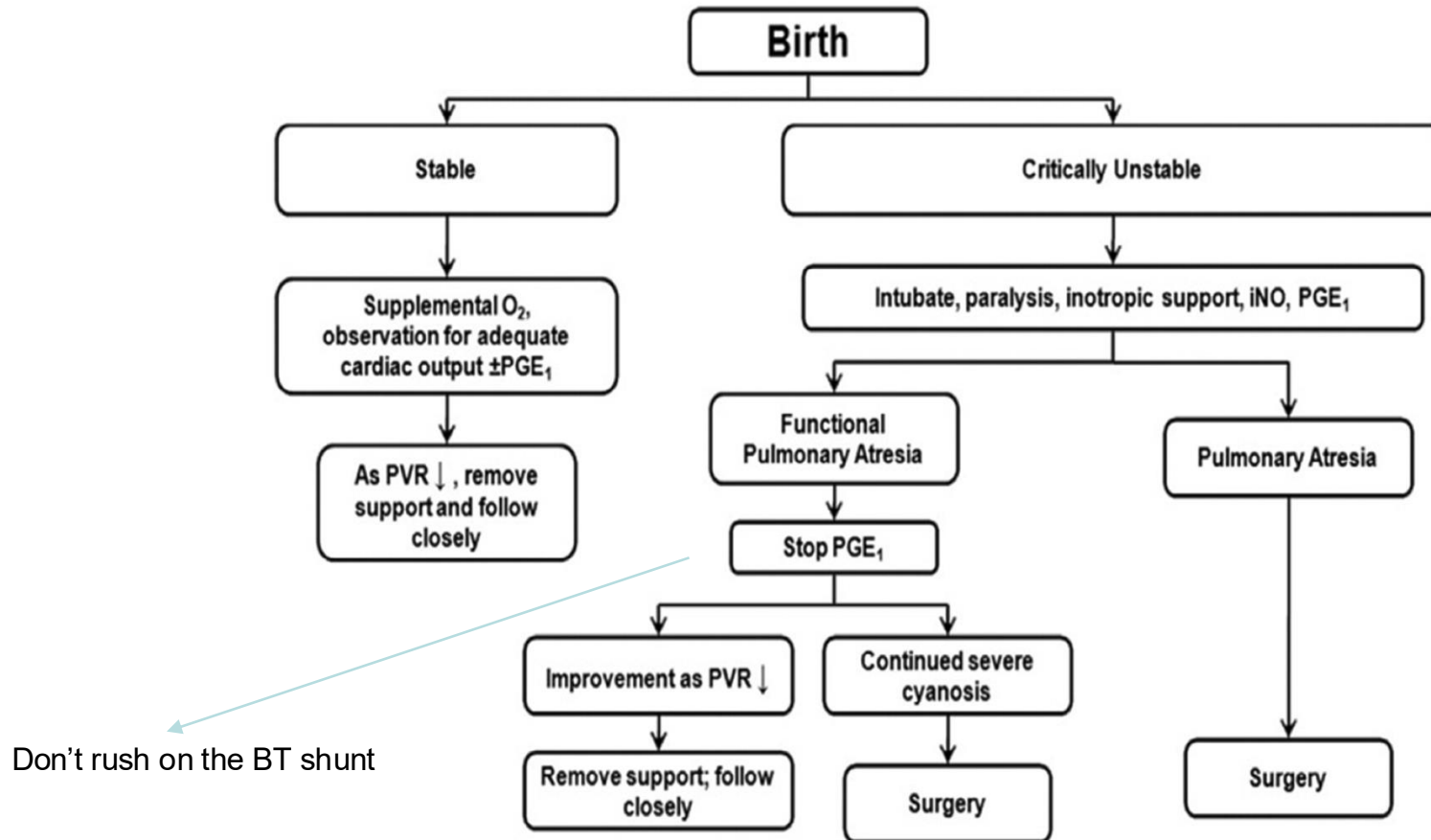
- Score pronostic pour les nouveau-nés



RA area + aRV area		GOSE score	ratio	Mortality (%)
fRV area+ LA area + LV area				
Grade	ratio	1-2	< 1.0	8
1	< 0.5	3 (acyanotic)	1.1 ~ 1.4	10 (early) 45 (late)
2	0.5 ~ 0.99	3 (cyanotic)	1.1 ~ 1.4	100
3	1 ~ 1.49	4	> 1.5	100
4	> 1.5			



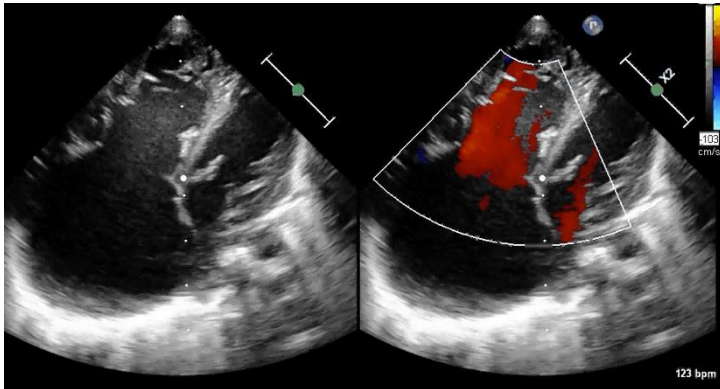
# Management néonatal



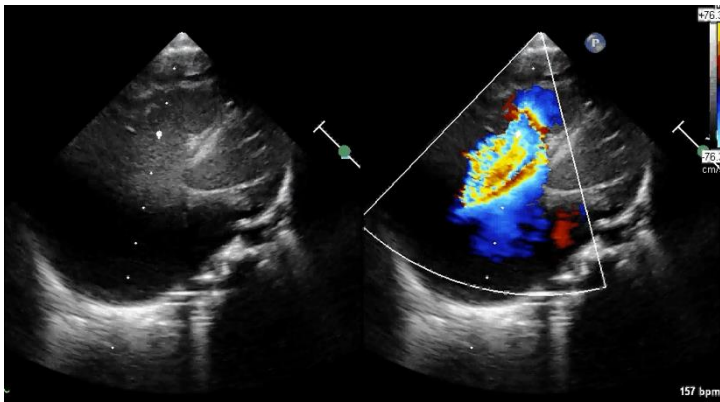
Kumar et al. Seminars in Thoracic and Cardiovascular Surgery 2017



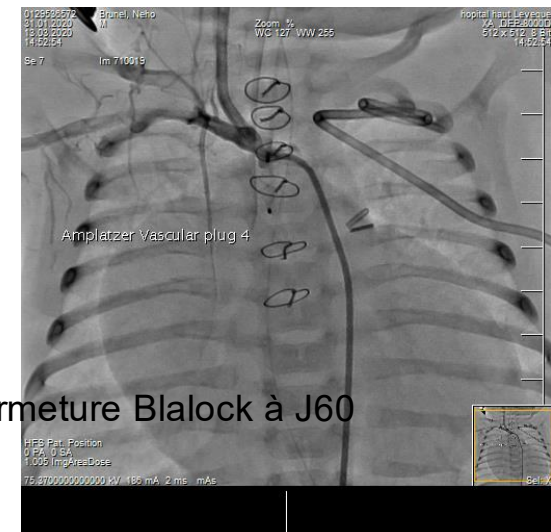
# Formes potentiellement évolutives



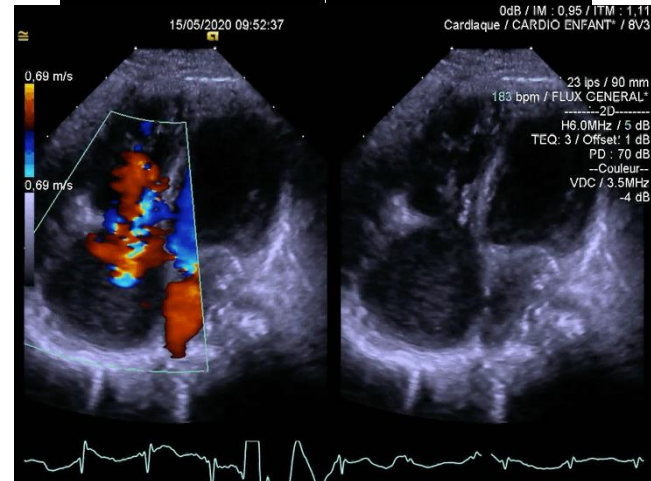
Ducto dépendance néonatale (Blalock néonatal J12)



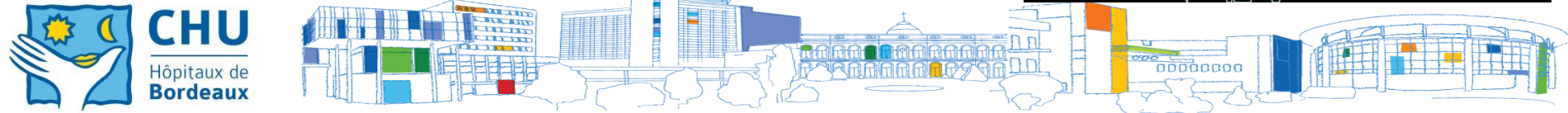
Défaillance cardiaque PO



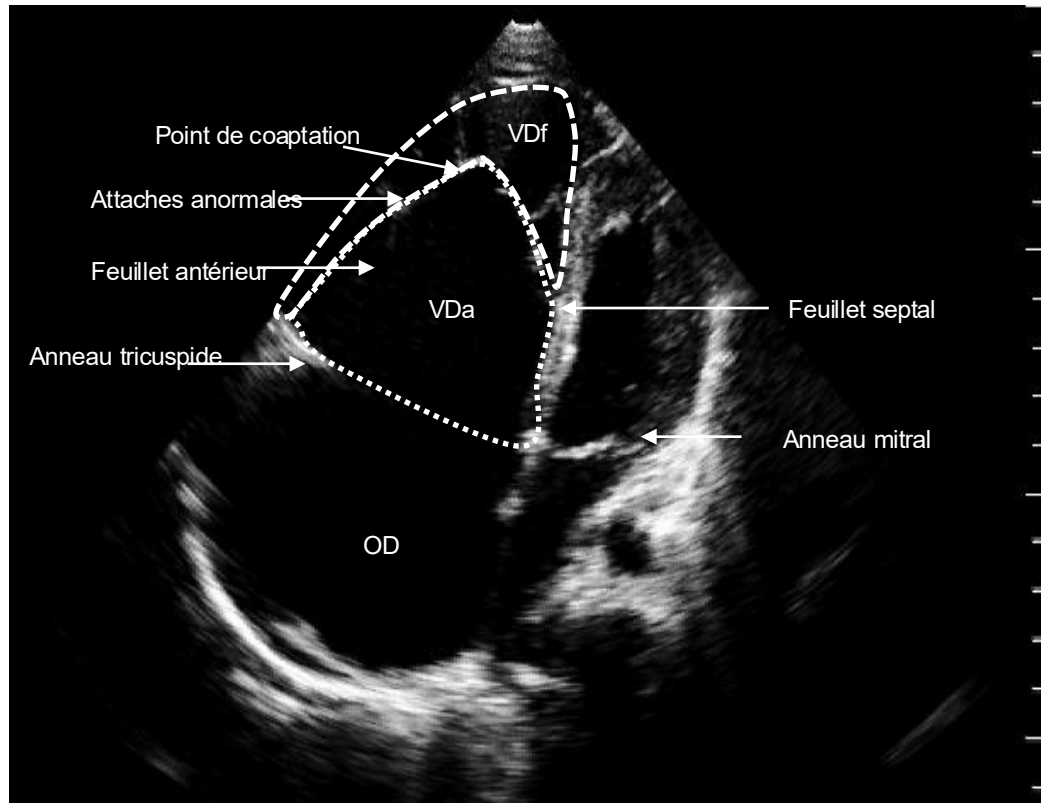
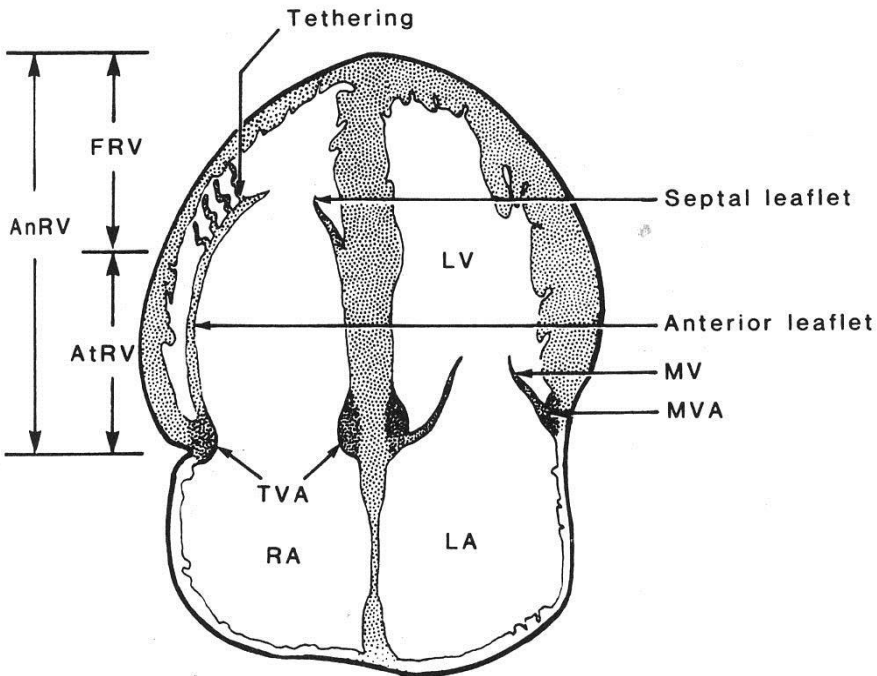
Fermeture Blalock à J60

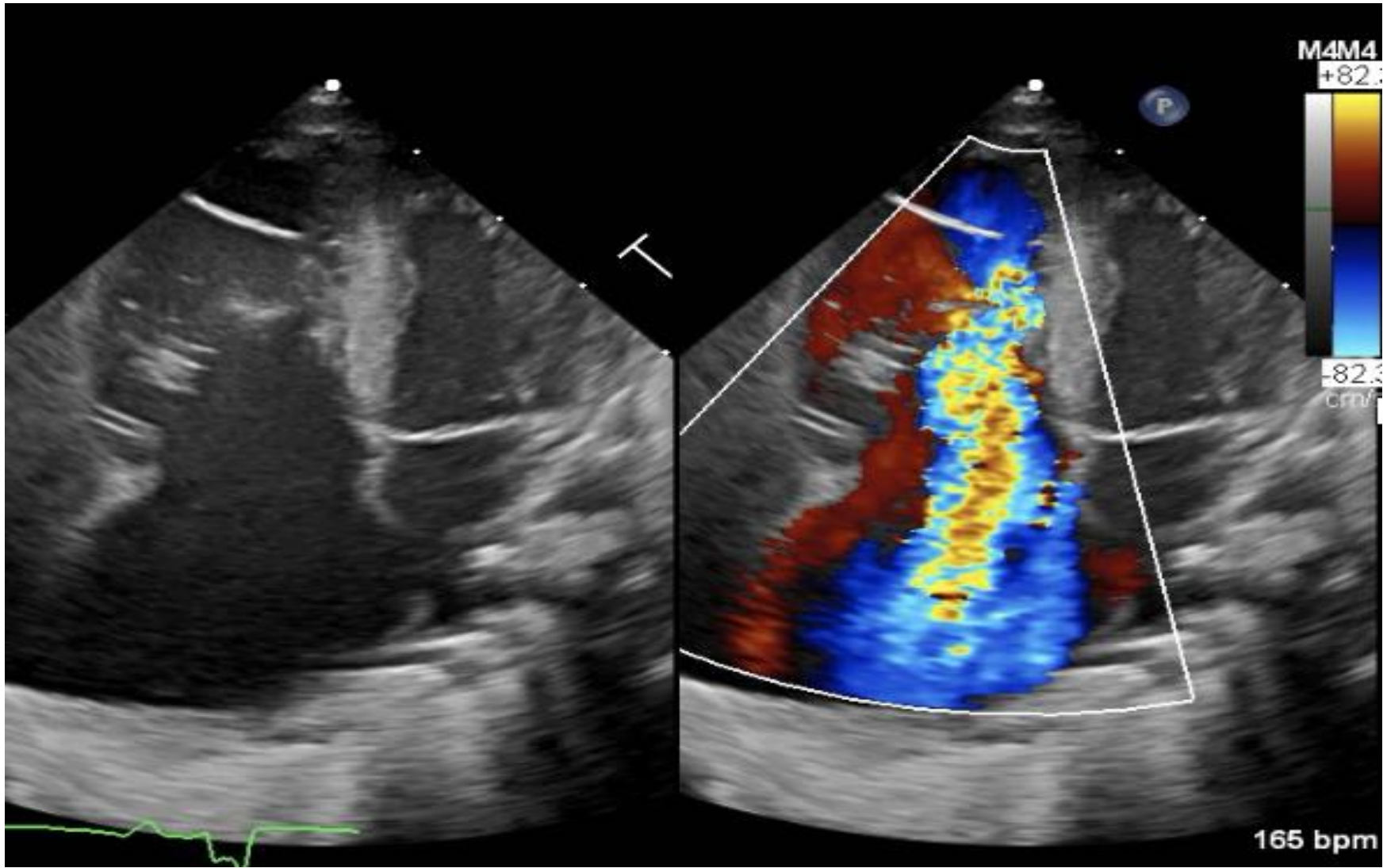


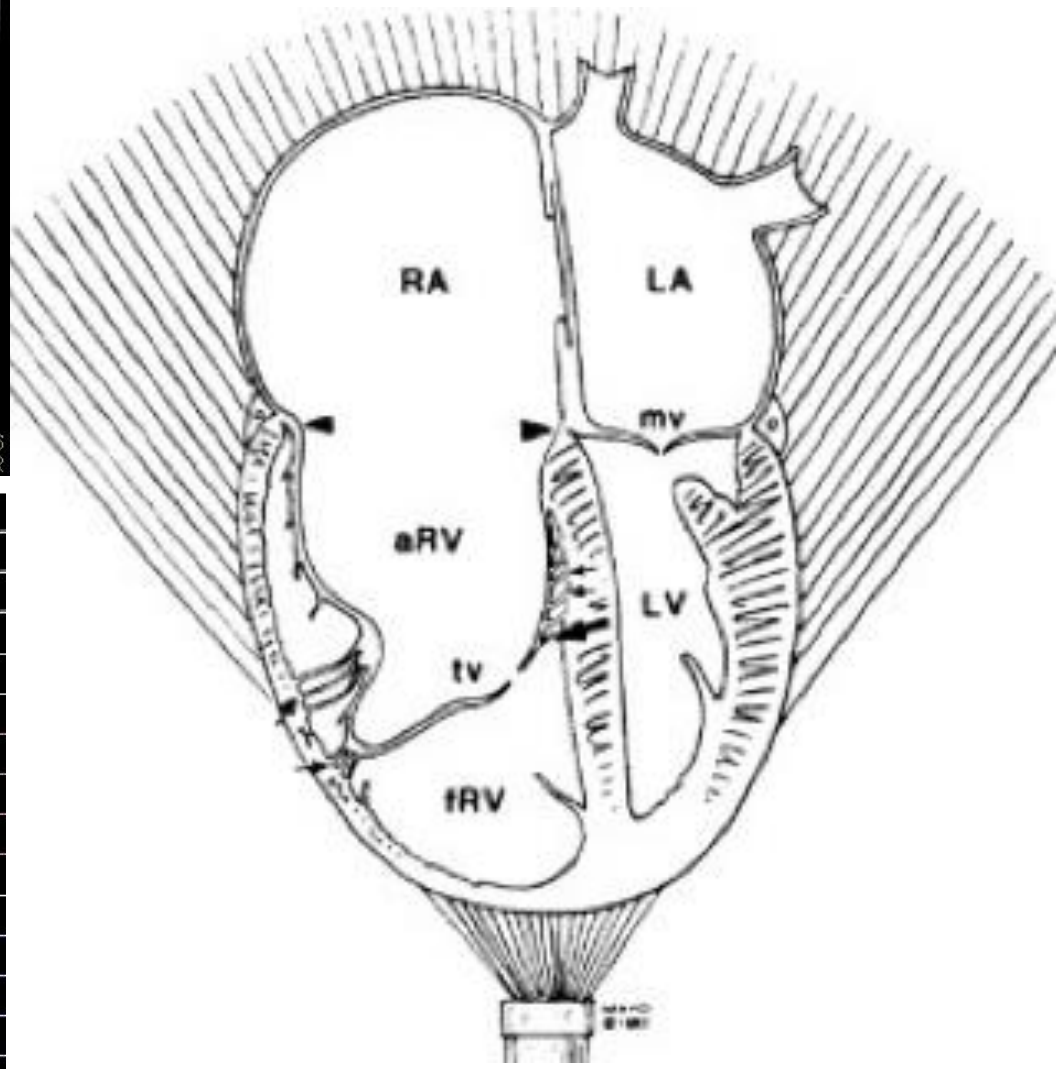
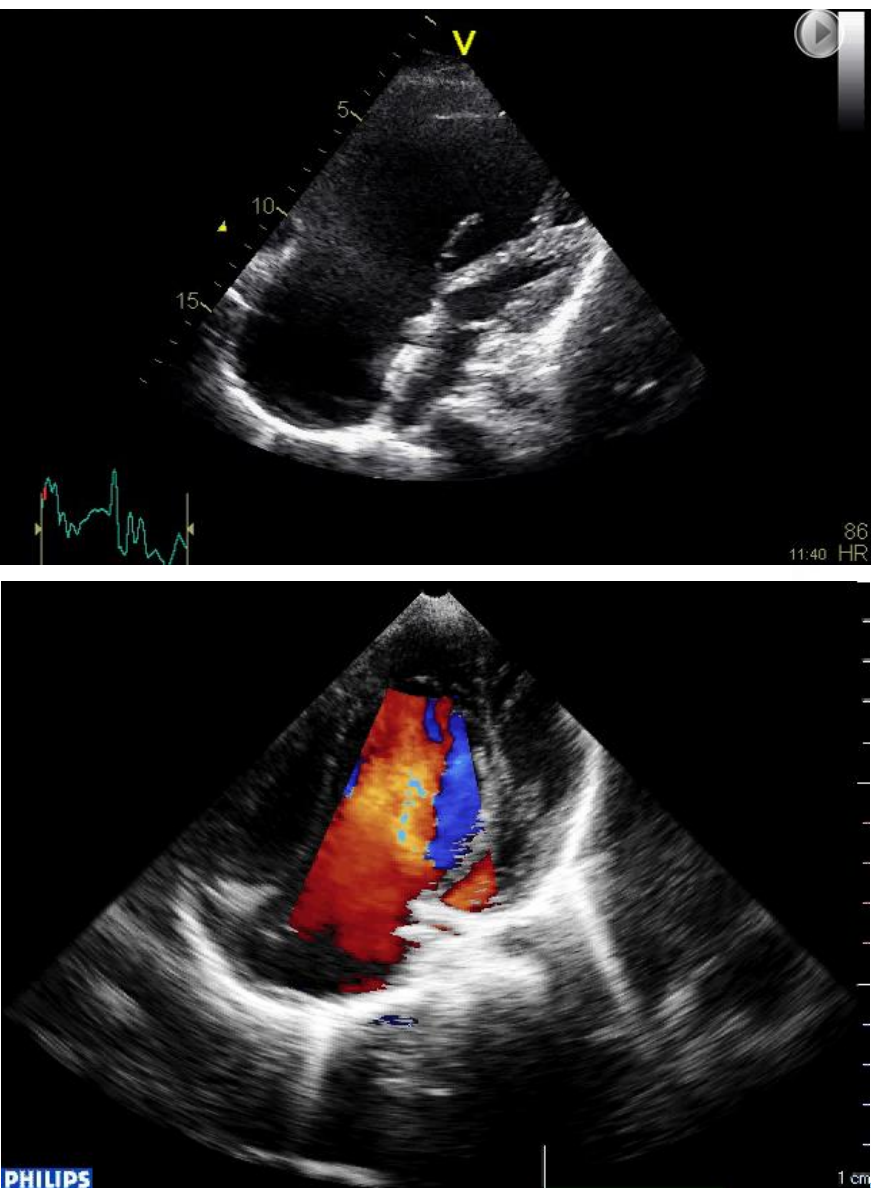
ETT M6



**CHU**  
Hôpitaux de  
Bordeaux





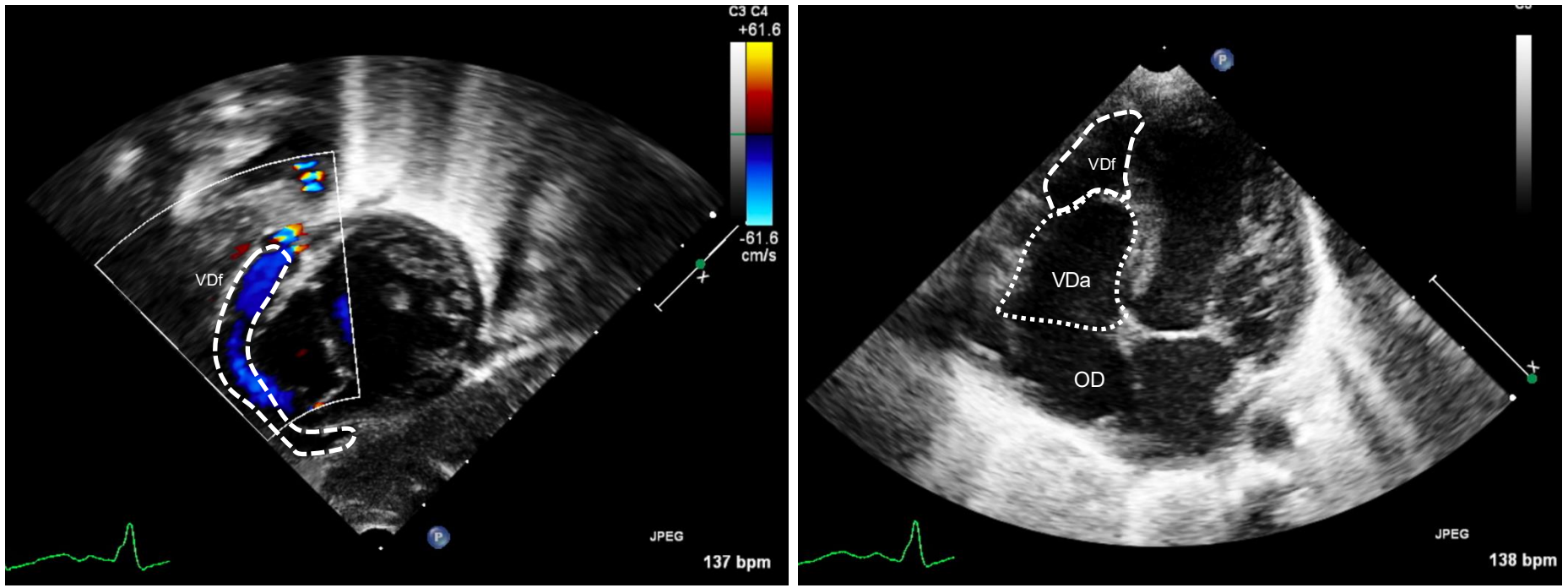


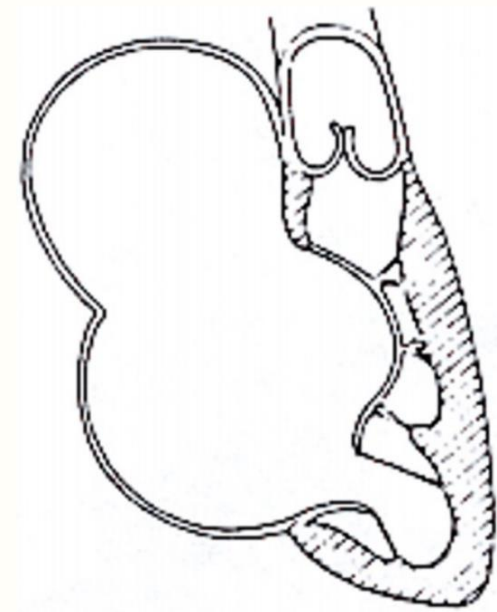
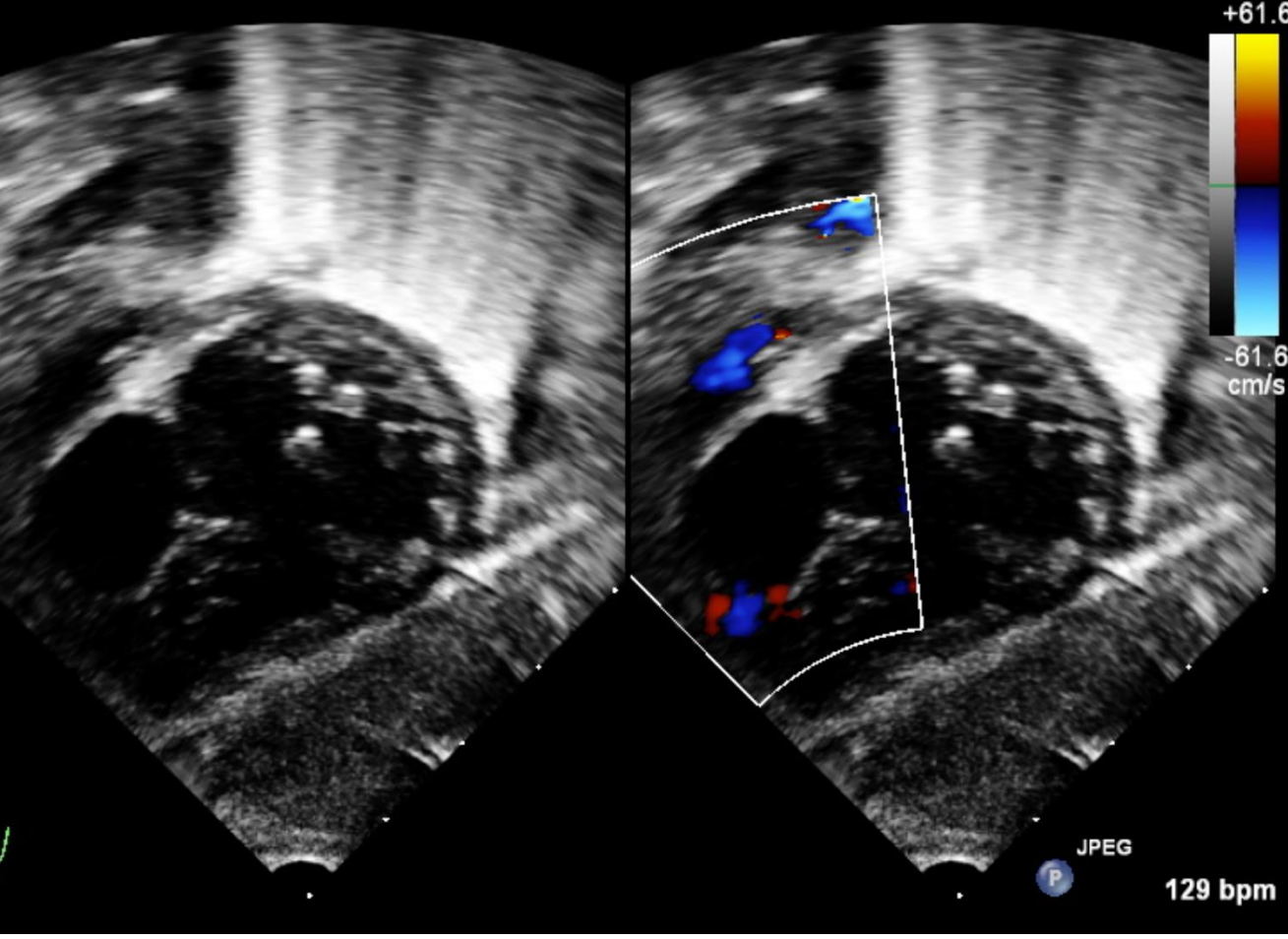
PHILIPS



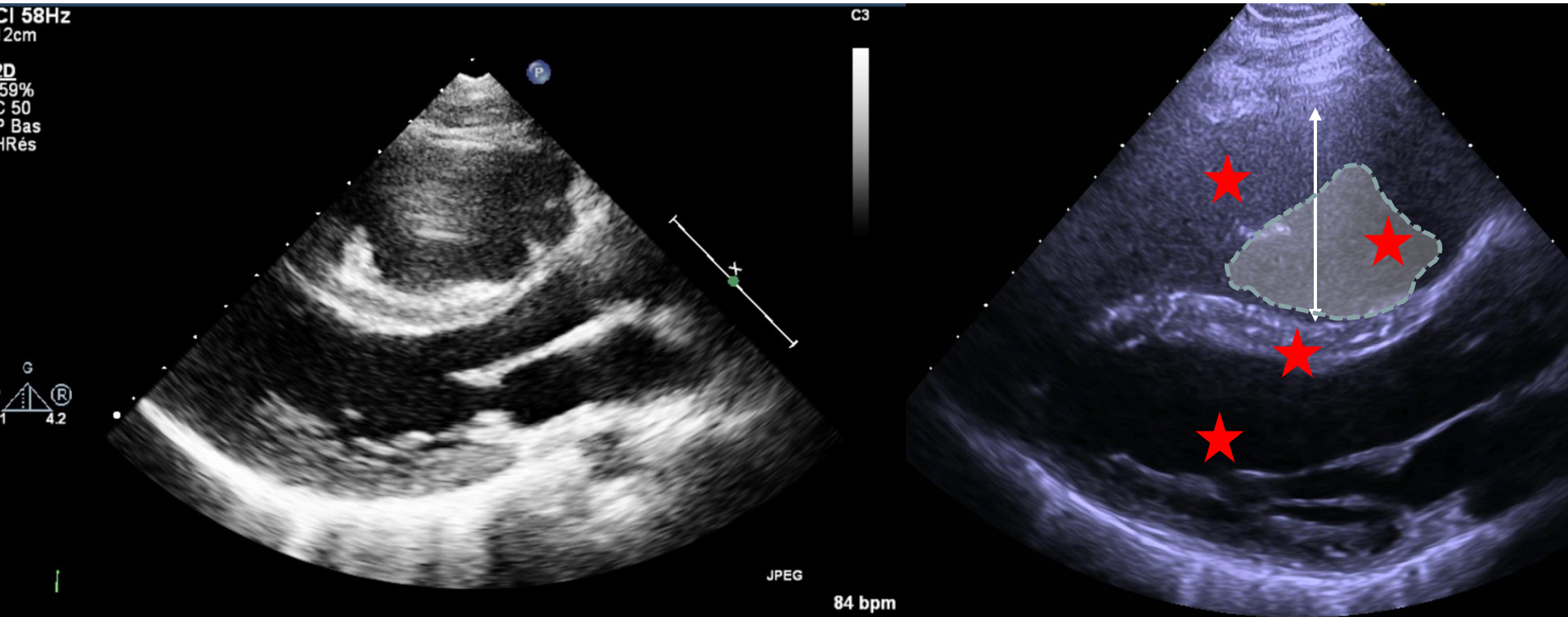
CHU  
Hôpitaux de  
Bordeaux

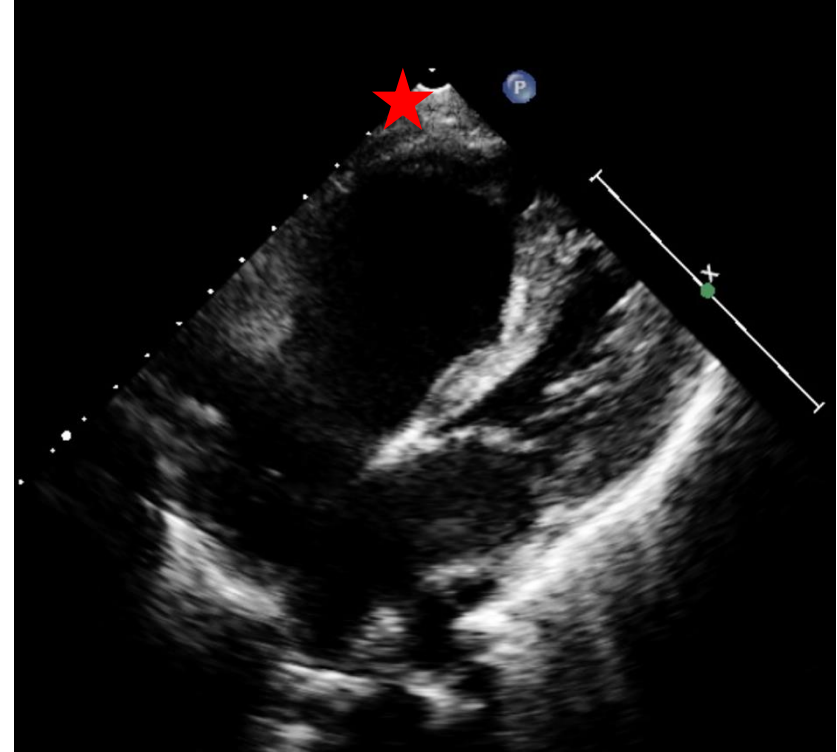
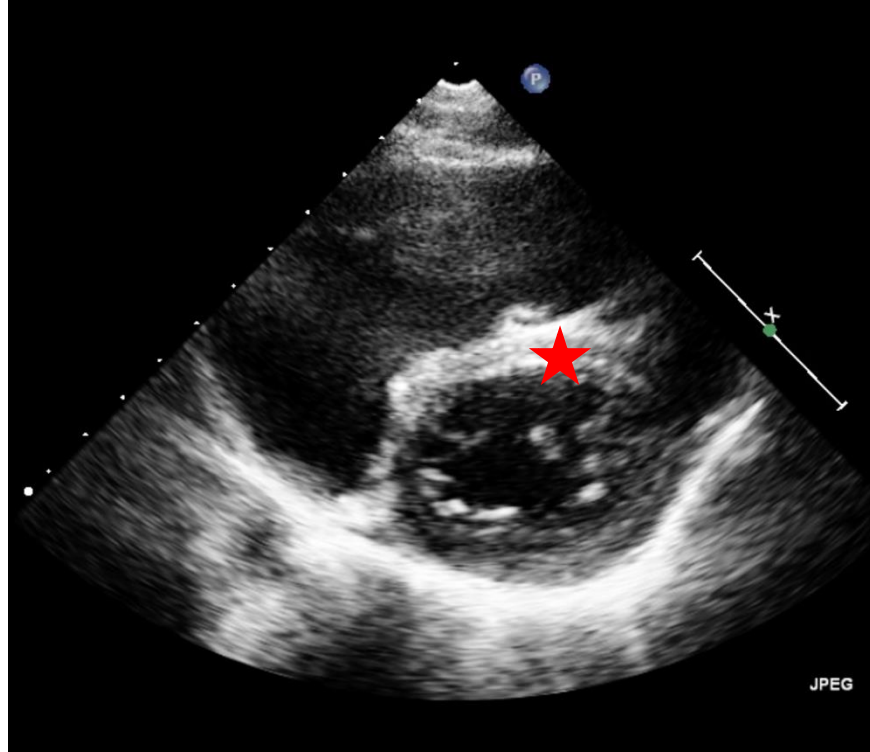
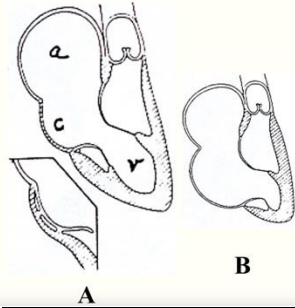


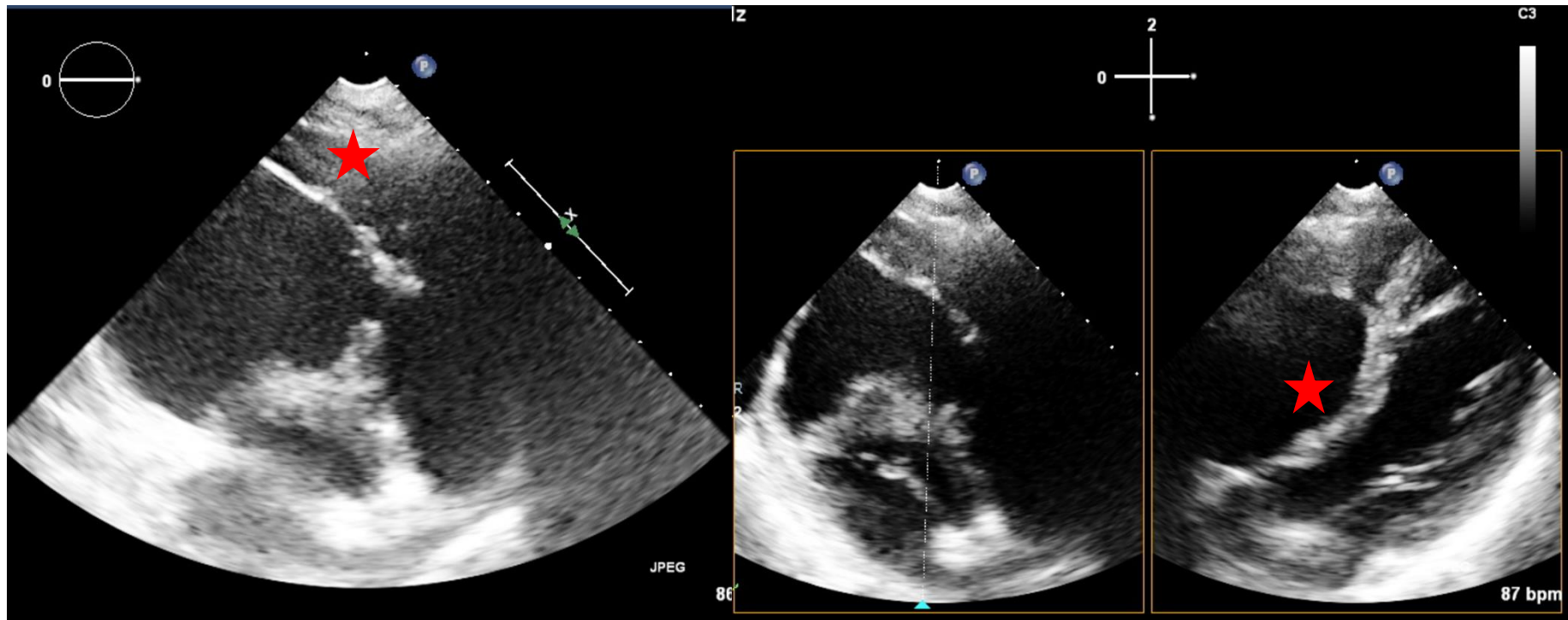
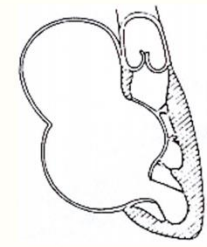


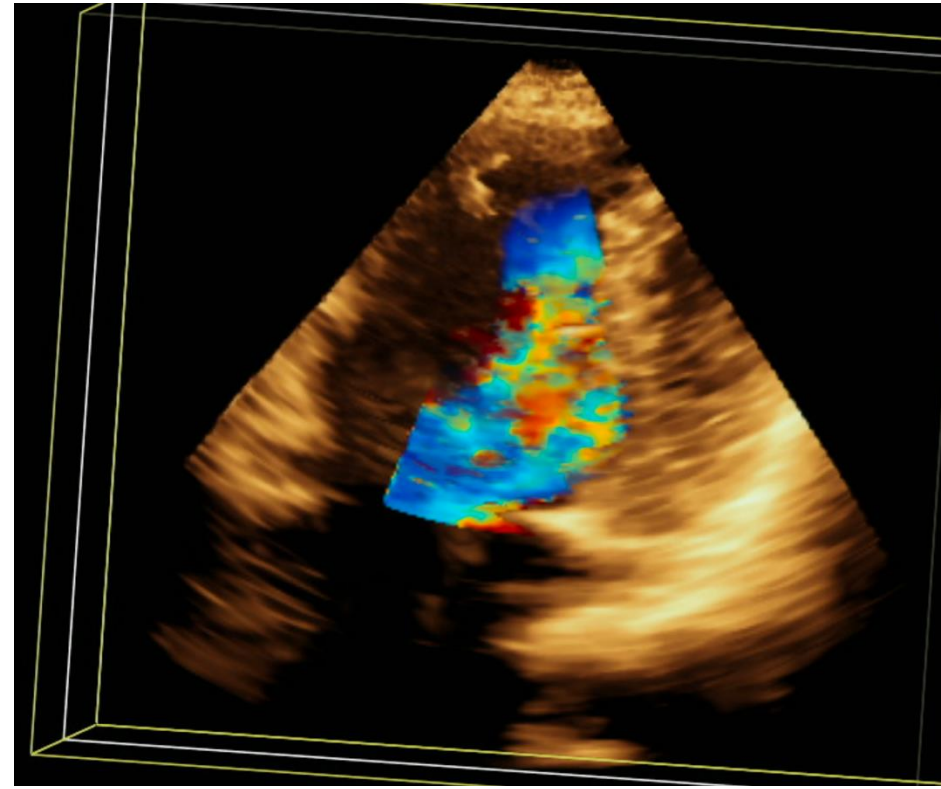
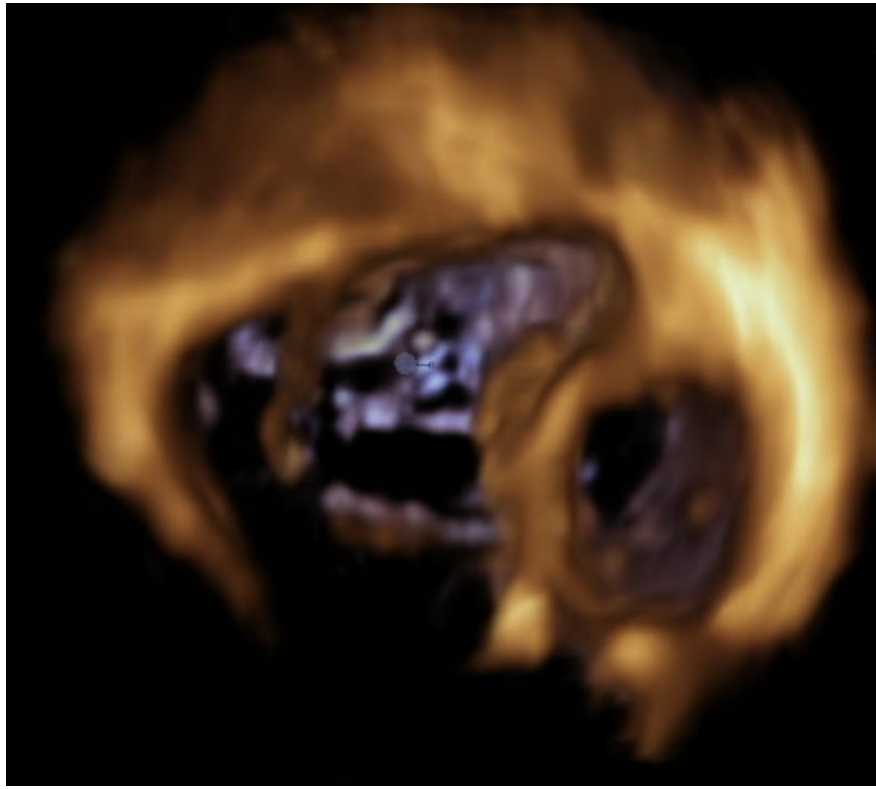


Jeune femme de 19 ans, mort subite récupérée sur super Wolf

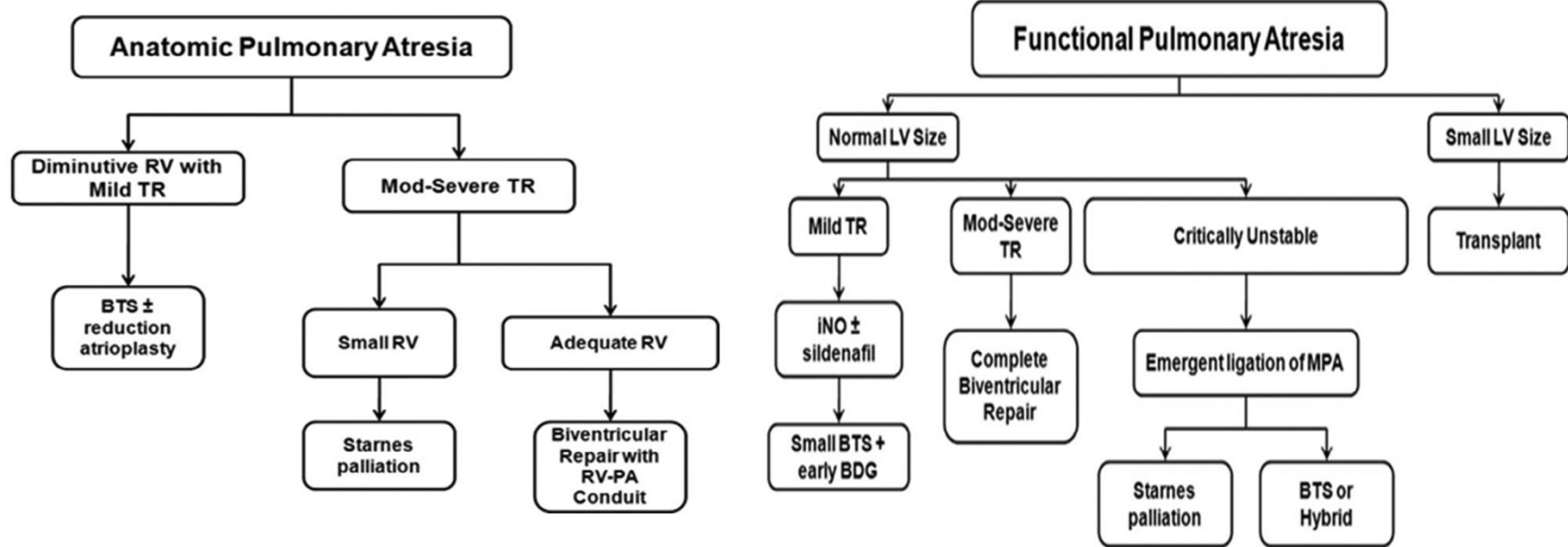








# Management néonatal



Kumar et al. Seminars in Thoracic and Cardiovascular Surgery 2017

